

23620

Dipl.-Ing. E. Otto

Versuche und Theorie über die Kontaktwiederbelebung beim katalytischen  
Krack-Schleusverfahren.

Laura Warke, den 1. August 1943 B

429

Versuche und Theorie über die Kontaktwiederbelebung beim katalytischen Krack-Schleusverfahren.

Inhaltsverzeichnis.

Einleitung.

II. Versuche zur Entwicklung der Regenerationsweise am Krack-Schleusofen.

1. Beschreibung der Apparatur.
2. Wiederbelebung mit Walzgas in Teilstromen und Sauerstoffabstufung.
3. Kreislaufwiederbelebung mit Inertgas und Luft.
4. Regeneration mit Luft im Gegenstrom zum Kontakt und kombinierter direkter und indirekter Wärmeabführung.
5. Regeneration mit Luft im Gleichstrom zum Kontakt und kombinierter direkter und indirekter Wärmeabführung.
6. Regeneration mit Luft im Gleichstrom zum Kontakt und direkter Wärmeabführung.
7. Entwicklung des Kontaktventiles.

III. Theoretische Untersuchung der Regenerationsweise mit reiner Luft im Gleichstrom.

1. Heizwert der koksoartigen Abgasströmen.
2. Spezifische Wärme des Kontaktes.
3. Wärmebilanz des Regenerationsprozesses.
4. Die Regenerationsluftmengen für eine bestimmte Koksherdladung.
5. Die Wärmeaustauscherflächen für Aufheizung der Regenerations-Frischluft an der Regenerations-Abluft.
6. Die Regenerationsendtemperaturen.
7. Berechnung über den Wasserdampfgehalt im Regenerationsgas.
8. Das Anfahren einer Großanlage.
9. Kurzer Vergleich mit dem Festbettverfahren in Bezug auf Wärmeaustauscherflächen für die Regenerationsluft.

IV. Schlußbetrachtung.

### I. Einleitung.

Im Krackschleusenofen werden im Gegensatz zum Krack-Festbettöfen die einzelnen Prozesse wie Kracken, Spülen und Wiederbeleben des Katalysators gleichzeitig in einem Schachtofen durchgeführt und zwar in verschiedenen Zonen oder in durch Schleusen getrennten Räumen, die übereinander angeordnet sind, um den kugelförmigen Katalysator (beispielsweise 6 mm Kugeldurchmesser) von einer Zone nach der anderen rutschen zu lassen. Im Festbettöfen werden durch Umsteuerung die einzelnen Prozesse nacheinander gefahren. Baulich ergibt dies beim Schleusverfahren eine größere Bauhöhe des Ofens, beim Festbettverfahren dagegen eine größere Anzahl der Kontaktöfen, verbunden durch ein kompliziertes Rohrleitungsnetz mit bei hoher Temperatur arbeitenden Absperrorganen.

Beim katalytischen Kracken ist ingenieurmäßig dem Regenerationsverfahren die größte Aufmerksamkeit zu widmen. Es ergab sich daher bei der Erprobung des Schleusofens, daß die gesamte Entwicklungarbeit praktisch aufgewendet wurde, um die Regeneration des Kontaktes so zu entwickeln, daß sie

- 1.) auf den Katalysator infolge zu hohen Wasserdampfgehaltes keinen schädigenden Einfluß ausübt,
- 2.) bedienungsmäßig so einfach ist, daß schädliche Überhitzungen des Katalysators beim Verbrennen der ruhmartigen Ablagerungen vermieden werden und daß sie
- 3.) baulich ein Minimum an Aufwand erfordert.

Die Vordringlichkeit der Entwicklung des Regenerationsverfahrens unterstreichen am besten folgende Zahlen:

Bei dem Festbettverfahren werden, um  $1 \text{ m}^3$  Kontakt, mit welchem  $0,3 \text{ m}^3$  Erdöl gekrackt werden, etwa  $6600 \text{ Nm}^3$  Luft benötigt (die ausführlichen Rechnungen dazu folgen im 2. Teil), um den Kontakt wieder zu beleben. Beim Schleusverfahren gelang es im Laufe der Entwicklung, die große Luftmenge auf etwa  $1500 \text{ Nm}^3$  Luft/ $\text{m}^3$  Kontakt zu senken. Es müssen also immer noch  $1500 \text{ Nm}^3$  Luft durch den Kontakt geblasen werden, um 100 Ltr. Fliegerbenzin zu erhalten.

Der erste halbtechnische Versuchsofen hat einen Krackraum von 20 Ltr. Kontaktinhalt. Zunächst wurde der Ofen so geplant, daß die Reaktionszone über der Regenerationszone angeordnet ist. Nach grundsätzlichen Erwägungen jedoch wurde die Regenerationszone über der Krackzone angeordnet. Maßgebend war dafür die zunächst verfahrensmäßig leichteres Durchführung der Aufheizung des nach dem Transport um etwa  $150-200^\circ$  erkalteten Kontaktes.

Bereits während der Konstruktion wurde das Verfahren zur Regeneration des Kontaktes mit reiner Luft im Gleichstrom für geringe Koksablagerungen ohne Kühlung des Kontaktes und für größere Koksablagerungen mit Kontaktkühlung vorgeschlagen, jedoch nicht angewandt, da es nach den damals vorherrschenden Ansichten über die Regeneration ansich nicht für möglich gehalten wurde, dies ohne Kontaktsschädigung durch zu große Überhitzung durchzuführen, zumal die Amerikaner, um ihren Kontakt nach dem Houdry-Krackverfahren mit reiner Luft zu regenerieren, sehr komplizierte Anlagen gebaut haben.

## II. Versuche zur Entwicklung der Regenerationsweise am Krack-Schleusofen.

### 1.) Beschreibung der Apparatur.

In Abb. 1 ist der Aufbau der halbtechnischen Versuchsapparatur dargestellt. Im Oberteil wird der Kontakt regeneriert und im Unterteil das Öl gekracht. Ober- und Unterteil sind durch eine Schleuse voneinander getrennt. Unterhalb des Regenerationsraumes wird noch in einer Spülzone Sperrstickstoff durch den langsam kontinuierlich von oben nach unten rutschenden Kontakt geblasen, um ihn vom Sauerstoff freizuspülen. Unter dem Krackraum, der 20 ltr. Kontakt fasst, befindet sich wieder eine Spülzone, in welcher die restlichen Oldämpfe aus dem inzwischen verrosten Kontakt herausgespült werden. Nach dieser Spülzone wird der Kontakt mit der unteren Schleuse aus der Apparatur ausgetragen und fällt in einen Kontaktbehälter. Letzterer dient zugleich in dieser kleinen Apparatur als Transportbehälter und wird, wenn er gefüllt ist, hochgehoben und über dem Regenerationsteil aufgesetzt und so der verruhte Kontakt dem Regenerationraum zugeführt.

Die untere und obere Schleuse müssen immer gleiche Mengen fördern. Über dem Krackraum befindet sich zwecks Kontrolle der durchgeschlossenen Kontaktmenge ein Füller für die Kontaktstandmessung. Im Bedarfsfall kann eine Schleuse etwas schneller oder langsamer angetrieben werden. Die obere Schleuse wurde vor allem aus Sicherheitsgründen vorgesehen, um durch ihre große Drosselung des Querschnittes verhindern zu können, daß Oldämpfe vom Krackraum über die Sperr- und Spülstickstoffzone in den mit Luft befaßten Regenerationraum gelangen können und umgekehrt. Durch die infolge der Kleinheit der Apparatur einerseits und die hohen Temperaturen ( $420^{\circ}$  im Krackraum,  $400-575^{\circ}$  im Regenerationraum) andererseits bedingten ungünstigen Abstrahlungsverhältnisse war es erforderlich, auch für den Kontakt, das Regenerationswälsgas bzw. die Luft, den Sperrstickstoff und das Spülgas, Vorheizer bzw. Bleibadvorheizer so dicht als möglich neben die Apparatur zu stellen, sowie den Krackraum mittels elektrischer Schutzeheizung und später auch den Regenerationraum mittels Gasheizung vor Abstrahlung zu schützen.

In einer Großanlage kommen diese jedoch im Fortfall; dort ist nur für das zu krackende Mittelöl ein Röhrenvorheizer und ein Brenner für die Aufheizung des

Ofens vor dem Anfahren erforderlich.

Alle während der Versuche aufgetretenen Störungen konnten mit geringem, technischen Aufwand beseitigt werden. Die zahlreichen Umbauten, die im Verlauf der Erprobung vorgenommen wurden, hatten zum Ziel, die Kontaktregeneration singulär zu erproben.

#### 2.) Wiederbelebung mit Wälzgas in Teilströmen und Sauerstoffabstufung.

Es wurde die Anlage nach einem 1939 bereits vorgeschlagenen Verfahren gebaut, welches eine kontinuierliche Wiederbelebung mit Wälzgas gestattet. Der Vorteil dieses Verfahrens sollte darin liegen:

- 1.) von selbst eine Abstufung der Sauerstoffkonzentration, gemäß der Abnahme des Kohlenstoffgehalts auf dem Kontakt zu erhalten,
- 2.) infolge einer Teilung des Regenerationsgases in drei Einzelströme eine Verminderung des Druckverlustes zu erreichen. Der Kontakt wird, nachdem er aus dem Krackraum ausgetreten ist und mittels Behälter in den darüber angeordneten Regenerationsraum gelangt, in einem Kontaktluftheizer mit Werkstattgas indirekt wieder auf Regenerationstemperatur gebracht. Der Kontakt rutscht während der Aufheizung durch Rohre (56 ° innen).

Das Schaltschema dieses Regenerationsverfahrens ist in Abb. 2 wiedergegeben.

Bei der Erprobung wurde jedoch gefunden, daß es nicht gelingt, die Koksalagerungen in allen Teilströmen gleichzeitig zum Verbrennen zu bringen. Da infolge der gemeinsamen Aufheizung der drei Wälzgasteilströme die Temperatur beim Eintritt in den Kontakt Raum überall gleich ist, zeigt es sich, daß entweder bei höherer Wälzgaseintrittstemperatur der Kontakt in den oberen Schichten weitgehend abbrannte, soweit Sauerstoff vorhanden, dann jedoch in den nächsten beiden Zonen mit beispielsweise 2 und 5 % O<sub>2</sub>-Gehalt überhaupt nicht brannte und erst wieder in der unteren Zone, wo reine Luft zwecks Nachregeneration im geraden Durchgang eingeblasen wird, restlos verbrannte, wobei die Gefahr der Überhitzung jedoch zu groß wurde, da für die noch vorhandenen Ablagerungen die vorgesehene Luftmenge nicht genügte, um die entstehende Wärme abzuführen. Die Ursache des Versagens dieses Verfahrens lag darin, daß die Ablagerungen sich aus leicht- und schwerverbrennlichen Bestandteilen zusammensetzen. Die leichtverbrennlichen Teile verbrannten in der ersten Zone, während in den beiden weiteren dagegen fast nichts verbrannte. In der letzten Zone, die mit reiner Luft und zwecks guter Nachregeneration mit etwas höherer Temperatur gefahren werden sollte, verbrannte unter Überschreitung der vorgesehenen Höchsttemperatur von 550-600° der restliche Koks.

3.) Kreislaufwiederbelebung mit Inertgas und Luft.

Es wurde daraufhin das zuerst beschriebene Verfahren, nachdem es nicht gelang wirklich stationäre Temperaturen zu erreichen, aufgegeben und die Verbrennung des Kokses in dem als Kontaktluftheizer vorgesehenen Röhrenaggregat vorgenommen. Der Kontakt wurde weiterhin im Röhrenaggregat mit Werkstattengas aufgeheizt und durch die Rohre im Gegenstrom zum von oben nach unten rutschenden Kontakt ein Stickstoffluftgemisch gefahren. Dieses Regenerationsgasgemisch wurde weiterhin umgewälzt und die nur zur Verbrennung erforderliche Frischluftmenge laufend zugeführt. Diese Kreislaufregeneration (s. Abb. 3) ging ansich einwandfrei; es wurden damit stationäre Verhältnisse bei den Kontakttemperaturen, die auch in erträglichen Grenzen gehalten werden konnten, bei einem Koksgehalt von etwa 1,5 Gew.% auf den Kontakt bezogen, erreicht.

Die Zuführung des Regenerationsgases erfolgte bisher bei beiden Verfahren ähnlich wie bei der T 52-Kontaktregeneration durch Streckmetallfenster (vergl. Abb. 4). Hierbei zeigte sich zunächst, daß infolge zu großer Strömungsgeschwindigkeiten in den Streckmetallquerschnitten sich kleine Kontaktteilchen vor die schlitzartigen Öffnungen des Streckmetalls legten und den Querschnitt so allmählich verengten, so daß der Druck im Ofen immer höher anstieg.

Weiterhin hatte sich beim Versuch, die Regeneration nach dem am Anfang beschriebenen Verfahren einzufahren, am oberen Ausgang infolge Überhitzung des Streckmetall gedehnt, so daß Kontaktkugeln durchgingen und in die Wärmeleitung geblasen wurden. Das Streckmetall wurde entfernt und an allen Öl- und Gas-Ein- und Austrittsstellen durch unten offene  $\wedge$ -förmige tunnelartige Kanäle (vergl. Abb. 4) ersetzt, die sich seither gut bewährt haben. Nachdem durch eingehende Kontaktuntersuchungen inzwischen geklärt worden war, daß die Aktivität bei einem Wasserdampfgehalt von 9 % in relativ kurzer Zeit absinkt, wurde mit den Versuchen begonnen, mit reiner Luft im geraden Durchgang zu regenerieren. Die Kreislaufregeneration wurde verlassen, da infolge des Wasserstoffgehaltes der Ablagerungen (ungefähre Zusammensetzung  $C_{H_2}$ ) sich das umzuwälzende Gas mit Wasserdampf bis zu 9 Vol.% anreichert. (Berechnungen dazu folgen im 2. Teil). Bei Regeneration mit reiner Luft im geraden Durchgang kann der Wasserdampf auf eine dem Kontakt als unschädlich anzusehende Höhe von etwa 2 Vol.% ansteigen.

4.) Regeneration mit Luft im Gegenstrom zum Kontakt und kombinierter direkter und indirekter Wärmeabführung.

Der Regeneration mit reiner Luft ging ein Versuch voraus. Es wurde im Gegenstrom und Kreislauf zunächst der Sauerstoffgehalt des Gases allmählich bis

auf 16 % gesteigert und durch Messen der Temperaturen in sehr kleinen Abständen genau kontrolliert, daß keine Zonen mit zu hohen Temperaturs vorhanden sind. Zunächst wurde nur ein Kontakt mit 1,3 bis 1,5 Gew.% Koks pro Kontakt wieder im vorhandenen ehemaligen Röhrenaufheizer regeneriert. Hierbei zeigte sich grundsätzlich, daß ein hoher Sauerstoffgehalt zu keinen Überhitzungen des Kontaktes führt, wenn nur dafür gesorgt ist, daß die Wärme entweder von der Luft selbst oder vom Rauchgas um die Kontaktrohre oder vom Kontakt, der möglichst kalt der Verbrennung zugeführt wird, aufgenommen bzw. abgeführt wird.

Daraufhin wurde wieder mit 1,3 bis 1,5 Gew.% Koks und diesmal mit reiner Luft im Gegenstrom und geradem Durchgang regeneriert (Abb.5). Auch hierbei konnte festgestellt werden, daß bei kleinen Koksmengen, wie zu erwarten, die Regeneration mit stationären Temperaturen durchzuführen ist. Daraufhin wurde der Röhrenaufheizer rauchgasseitig umgebaut (Abb.6). Bisher wurden, wie bereits erwähnt, die Rauchgase dem durch die Rohre nach unten rutschenden Kontakt um die Rohre von unten nach oben entgegengeleitet. Jetzt wurde eine Kontaktlaufheizzone, in welcher der Kontakt von etwa 100° auf etwa 250° erwärmt werden soll, im oberen Drittel eingerichtet, in welcher die Rauchgase im Gegenstrom zum Kontakt an den Kontaktrohren entlangströmen. Im doppelt so großen unteren Verbrennungsteil wurden die Rauchgase im Gleichstrom entlanggeführt, um hier einen großen Teil der Verbrennungswärme durch die Rohre abzuführen. Diese Anordnung war im Hinblick auf eine Weiterentwicklung des Verfahrens gewählt worden, um bei einer Großanlage, in welcher der Kontakt mit einer Koksbeladung von etwa 4-5 Gew.% Kontakt regeneriert werden sollte, Aufheizung und Kühlung in der Verbrennungszone mit der gleichen Luft durchzuführen, wie das schematisch in Abb.7 dargestellt ist. Es ist beabsichtigt, die Luft mittels Gebläse aus der Atmosphäre anzusaugen, sie der Abluft auf etwa 250°C aufzuheizen, dann in die Kühllzone zu leiten und hier etwa 50 % der freiwerdenden Koksverbrennungswärme indirekt durch die Rohre abzuleiten, wobei sich die Kühlluft von 250° auf etwa 400°C aufheist. Diese Luft soll dann im Gleichstrom mit dem Kontakt durch die Rohre geblasen werden, wobei sie sich auf etwa 550°C gemeinsam mit dem Kontakt erwärmt. Aledann gelangt diese Luft in die obere Aufheizzone, wo sie den aus einem Becherwerk kommenden abgekühlten Katalysator, soweit noch erforderlich, indirekt aufheizt. In der kleinen Versuchsapparatur wurde, wie schon erwähnt, die Kühlung und Aufheizung nicht mit Luft, sondern mit Rauchgasen vorgenommen. Dies ist infolge zu großer Abstrahlung erforderlich. In dieser Apparatur wurde jetzt mit einem Koksgehalt von 2-2,5 Gew.-%, auf den Kontakt bezogen, nochmals ein Versuch, die Verbrennungsluft mit dem Kontakt im Gegenstrom zu fahren, ausgeführt. Es zeigte sich, wie zu erwarten war, daß eine gleichmäßige Verbrennung mit feststehenden Brennzenen bei diesem Koksgehalt nicht mehr durchzuführen ist. Ein sta-

tionärer Temperaturverlauf ist nicht zu erreichen, da durch die dem Kontakt entgegenströmende Luft dieser bereits von der Luft vorgewärmt wird und die Verbrennungszone dem Kontakt nach oben entgegenwandert. Wird die Luft als Gegenmaßnahme daraufhin mit tieferer Temperatur dem Regenerationsteil zugeführt, so wandert die Brennzone nach der Einströmstelle der Luft, da unregenerierter Kontakt dahin zwischen nachgerutscht ist. Dies geht solange, bis sich plötzlich wieder an der heißen Abluft, die noch starken Sauerstoffüberschuß hat, oben der Kontakt entzündet. Wird als Gegenmaßnahme die Luft noch kälter zugeführt, so geht die Verbrennung ganz aus.

5.) Regeneration mit Luft im Gleichstrom zum Kontakt und kombinierter direkter und indirekter Wärmeabführung.

Nachdem auf diese Art experimentell der Beweis geführt wurde, daß sich bereits die Regeneration von Koksablagerungen bei etwa 2 Gew.% und mehr im Gegenstrom nicht durchführen läßt, wurde die Apparatur auf Gleichstrom umgebaut, d.h. die Luft wird oben zugegeben und unterhalb des Röhrenaggregates abgezogen. Mit sehr kleinen Koksablagerungen von 1,3 - 1,5 Gew.% ließ sich die Verbrennung nur deshalb mit im Gegenstrom geführter Luft durchführen, weil diese kleinen Wärmemengen im Röhrenaggregat durchweg abgeführt wurden und sich dadurch die noch nicht der Regeneration zugeführten noch mit Koks beladenen Kontaktteile an der Verbrennungsluft auch nicht aufheizen konnten. Der Versuch zeigte bei Verbrennung im Gleichstrom, daß eine statische Temperaturverteilung, d.h. ein Abbrand mit feststehenden Temperaturzonen möglich ist. Die Verbrennung wird bei diesem Verfahren kontinuierlich an jeder Kontaktkugel neu eingeleitet, sobald sie unter die Lufteinlaßkanäle rutscht. Die Brennzone wandert nicht, die Verbrennung läßt sich in ihren Temperaturen einwandfrei beherrschen, eine schädliche Kontaktüberhitzung tritt auch nicht auf. Es konnte mit dieser Fahrweise auch der Beweis geführt werden, daß sich Dehydrierkontakt der T 52-Anlage mit etwa 4,0 Gew.% Koks ebenfalls mit reiner Luft im geraden Durchgang ohne schädliche Überhitzung regenerieren läßt. Es wurde jedoch festgestellt, daß eine allmäßliche Aufheizung und Entzündung des Kontaktes im Vorratsbehälter über dem Röhrenaggregat eintrat. Die Ursache dafür liegt wahrscheinlich in einer Aufheizung des Kontaktes an den Einlaßkanälen der Luft und in einer gewissen Diffusion der Luft in den oberen Vorratsbehälter. Als Gegenmaßnahme wurden die Einlaßkanäle mit Schamottmörtel isoliert (s. Abb.8), um den Wärmeübergang von den Kanälen, durch welche die Luft mit etwa  $400^{\circ}$  in den Regenerationsofen geleitet wird, an den Kontakt, der mit etwa  $250^{\circ}\text{C}$  ankommen soll, zu verringern. Gleichzeitig wurde durch Anbringung des Mauerwerks der Querschnitt zwischen den Kanälen, wo der Kontakt durchrutscht, verengt, so daß eine Diffusion oder Zirkulation der Luft nach oben verringert wird. Weiterhin wandert der Kontakt schneller an den Kanälen entlang,

7

so daß seine Verweilzeit an den heißen Wänden auch geringer wird. Die Ergebnisse dieser Umänderung konnten mit T 52-Kontakt infolge dringender weiterer Arbeiten nicht mehr untersucht werden. Eine Aufheizung des Kontaktes oder eine Verbrennung im oberen Topf wurde jedoch später nicht wieder beobachtet.

#### 6.) Regeneration mit Luft im Gleichstrom zum Kontakt und direkter Wärmeabführung.

Da aus der Überlegung heraus, ein möglichst einfaches Regenerationsaggregat zu erhalten, die Rohre, durch welche der Kontakt zwecks indirekter Luftkühlung geleitet wird, bei kleinen Koksmengen weggelassen werden können, ist beabsichtigt, den Prozeß im Reaktionsteil so zu führen, daß nur kleine Koksablagerungen auftreten. Der Kontakt ist dann nur schneller zu schleusen.

In der Patentanmeldung dieses Verfahrens wurde bereits darauf hingewiesen, daß für kleinere Koksablagerungen auf dem Kontakt ohne Rohreinbauten im Katalysatorraum wirtschaftlich regeneriert werden kann. Es ist dann nötig, die zur Wärmeabführung erforderliche volle Luftmenge durch den Kontakt zu leiten. Bei größeren Koksmengen über etwa 2,5 Gew.% scheint es jedoch erforderlich, auch aus verfahrensmäßigen Gründen eine Kühlzone wie früher beschrieben, einzubauen. Versuchsmäßig mußte zunächst der sichere Weg beschritten werden und die Regeneration, wie bereits beschrieben, mit Kühlrohren für Kontakte mit verschiedenem Koksgehalt erprobt werden, um mit Sicherheit schädliche Überhitzungen des Kontaktes zu vermeiden. Nachdem jedoch ein Entwurf für eine Großanlage mit Einbauten ausgeführt worden war, kam die Erkenntnis, aus konstruktiven und wirtschaftlichen Gründen ein möglichst einfaches Regenerationsaggregat zu bauen. Es ist dabei erforderlich, die Verweilzeit des Kontaktes im Krackraum so klein zu halten, daß die Koksablagerungen gering bleiben, d.h. der Kontakt ist entsprechend schneller durch den Ofen zu schleusen. Es wurde ein Koksgehalt von etwa 2,2 Gew.% auf den Kontakt als Basis für den Entwurf einer Großanlage nach wirtschaftlichen Überlegungen festgelegt und in der Versuchsapparatur daraufhin das Röhrenaggregat durch ein anderes ohne Kühlrohre ersetzt. Die Vorversuche bestätigten bereits die Annahme, daß auch hier eine Regeneration ohne schädliche Überhitzung möglich ist.

Da bei dieser kleinen Apparatur (Abb.9) jedoch die Abstrahlung trotz bester Isolation etwa so groß ist, wie die Verbrennungswärme der Ablagerungen, ist es weiterhin erforderlich, sie mit einer Schuttheizung zu umgeben, um jede Abstrahlung zu verhindern. Es wurde aus baulichen Gründen eine Gasheizung gewählt, um jedoch die bestimmt Gewähr zu haben, daß eine Wärmeab- und -einstrahlung möglichst nicht stattfindet, wird zwischen Regenerationsraum.

und Rauchgasraum eine etwa 225 mm dicke Isoliermauerung gelegt und in zwei Querschnitten dieser Isoliermauerung die Temperatur je einmal in der Höhe des Ofens und einmal in der Nähe der Rauchgas Überschlag und die Rauchgase werden in Menge und Temperatur so gefahren, daß in den je zwei in einer Horizontalebene liegenden Thermoelementen Temperaturgleichheit besteht, so daß ein Wärmefluß in dieser Richtung nicht stattfinden kann.

Die Gasheizung wurde dann so gefahren, daß durch Mengen- und Gemischregelung der Temperaturabfall im Rauchgas weitgehend gleich dem Temperaturanstieg im Kontakt ist.

Auch hierbei konnte festgestellt werden, daß sich diese Wiederbelebung ohne schädliche Kontaktüberhitzung durchführen läßt. Es wurde dabei beobachtet, daß die Abreangeschwindigkeit der Ablagerungen sich in einem gewissen Rhythmus von etwa 1-2 Std. ein klein wenig vergrößert und dann wieder verringert, d.h. die Horizontalen konstanter Temperatur wandern rhythmisch etwa 20-40 cm höher und dann wieder tiefer. Auf dem Multithermografenstreifen ist dies dadurch erkennlich, daß die Elemente im Regenerationraum leichte sinnartige Schwingungen beschreiben. Die Ursache ist nicht einwandfrei geklärt. Es wird angenommen, daß infolge der Gasheizung gleichzeitig in verschiedenen Höhen des Regenerationsteiles kleine Wärmemengen ein- oder abgestrahlt werden und sich dadurch die sehr stark temperaturabhängige Verbrennungsgeschwindigkeit ändert. Bei der Regeneration im Röhrenaggregat (Abb.6) wurde diese Erscheinung nicht beobachtet, sie trat dagegen erstaunlich beim hierzu gehörten Vorversuch ohne Rauchschutzhützung auf. Weiterhin wurde beobachtet, daß die Verbrennungsgeschwindigkeit stark zunimmt, wenn der Kontakt infolge des Behälterwechsels plötzlich heißer zur Regeneration kommt. Auf diese Beobachtung wird im III. Teil (Abschnitt 6) genauer eingegangen.

Ferner konnte, wie in Abb.9 eingeszeichnet, an drei Stellen in verschiedenen Höhen eine Kontaktprobe durch je ein Rohr während der Regeneration aus dem Ofen entzogen werden, um die Zeit ermitteln zu können, die erforderlich ist, um den Koks vom Kontakt abzuholen. Diese Zeit ist wichtig, da sich hier nach die Größe des Regenerationsräumes und der Energieverbrauch für das Durchblasen der Luft richtet. Es konnte hier infolge der durch die geringe Größe der Anlage verursachten Schwierigkeiten vor allem in der Messung und Konstanthaltung der Luft- und Kontakttemperaturen beim Beginn der Wiederbelebung nur ein ungefähre Wert ermittelt werden, welcher mit entsprechenden Sicherheiten der s.s. in Planung befindlichen technischen Versuchsanlage zugrunde gelegt wird. Die genauen Ferte und Abhängigkeiten können erst in der technischen Anlage (mit 650 ltr. Krackraum) ermittelt und ihre Abhängigkeit von der Höhe und der Breite des Regenerationstemperaturbereichs geklärt werden.

### 7.) Entwicklung des Kontaktventiles:

Da der Krack- und auch der Regenerationsprozess mit einem Überdruck von 0,1-0,2 atü gegenüber der Atmosphäre durchgeführt wird, muß durch besondere Ein- bzw. Austragvorrichtungen der Kontakt oben hinein- und unten hinausgebracht werden, um zu verhindern, daß Gase den Ofen verlassen können. An der bisher erstellten kleinen Versuchsanlage geschieht dies mit Hilfe der in Abb. 1 dargestellten Kontaktbehälter. Ein solcher Kontaktbehälter hat einen Inhalt von etwa 150 Ltr. Bei der gewählten Fahrweise müssen diese Behälter in etwa 2<sup>1</sup>/<sub>2</sub>-5 Stunden ausgewechselt werden, d.h. die Behälter werden von der Apparatur abgeschraubt, der untere volle oben aufgesetzt, der oben leergefahrene unten wieder angeschraubt. Danach werden die vorher zwischen den Behältern und Apparaturen angeordneten vorher geschlossenen Flachschieber (je einer an der Apparatur und am Behälter) wieder geöffnet, so daß in keinem Falle Spülgas oder Regenerationsluft ins Freie treten kann. Da bei einer 50 000 jato Einsatz-Produktionsanlage stündlich etwa 25 m<sup>3</sup> Kontakt durchgeschleust werden müssen, war von Anfang an ein Becher- bzw. Kübelförderorgan vorgesehen.

Um das Einschleusen nun weitgehend kontinuierlich zu gestalten, wurde ein Kontaktventil (s. Abb. 10) entwickelt, mit welchem dies, wenn es über bzw. unter dem Ofen je zweimal angeordnet ist, gelingt:

- 1.) den Kontakt weitgehend kontinuierlich in den Regenerationsteil einzuschleusen bzw. aus dem Krackteil auszuschleusen, indem jeweils bei den Ventile abwechselnd periodisch sich öffnen und schließen, so daß keine Regenerationsluft oben oder Spülgas unten in die Atmosphäre treten kann dadurch, daß zwischen je zwei Kontaktventilen in einem kleinen etwa einige hundert Liter (entspricht der Menge, die in einer Periode eingeschleust wird) fassenden Zwischenbehälter mittels Inertgas der Druck gehalten wird, der in der Apparatur besteht,
- 2.) hinreichend guter Gasabschluß erreicht werden kann,
- 3.) keine Kontaktkugeln beim siedichten Abschluß zerstören oder zerquetscht werden können.

Die letzte Bedingung ist besonders wichtig, da der Kontakt

- 1.) infolge seines hohen Preises nicht mechanisch zerstört werden darf und
- 2.) als Splitt aus dem übrigen Kontakt laufend abgesondert werden müßte, da er andernfalls durch Herbeiführung einer ungleichmäßigen Gasverteilung einen geordneten Ablauf der Reaktionen nicht gestatten würde und außerdem bereits während seiner Entstehung infolge seiner Härte die Dichtflächen des Ventiles zerstören würde, so daß sie in kurzer Zeit unbrennbar würden.

Das Ventil kann hydraulisch, pneumatisch oder elektrisch betätigt werden. Es ist gekennzeichnet durch einen Kontaktvorabschluß, der zwangsläufig vor dem gasdichten Abschluß, der von einem Ventilegel bewirkt wird, stattfindet. Ein Vorabschlußschieber, der fest mit der Ventilspindel verbunden ist und durch den in geöffneter Stellung der Kontakt durchfließen muß, unterbricht den Kontaktstrom, bevor der Ventilegel den gasdichten Abschluß hergestellt hat, so daß sich kein Kontakt mehr während des gasdichten Abschlusses zwischen dem Ventilegel und der Dichtfläche am Ventilgehäuse befinden kann. Der Vorabschlußschieber tritt durch den radial und von oben kommenden Kontaktstrom durch, indem er ihn an seiner freien Oberfläche durchschneidet. Er bewegt sich dann noch in einem glockenartigen Aufsatz hinein, durch welchen andererseits zugleich die radiale Einströmung des Kontaktes erreicht wird.

Bei sehr kurzen Schließzeiten, die dann erforderlich sind, wenn möglichst wenig Inertgas aus dem Zwischenbehälter in den Reaktionsraum oder ins Freie strömen soll, ist es erforderlich, wie in der linken Abbildung dargestellt, noch teleskopartige Fallringe anzubringen, die denjenigen Kontakt, der gerade noch in den Vorabschlußschieber gefallen ist, aber infolge des raschen Schließens noch nicht über den Ventilegel das Ventil verlassen konnte, zurückhalten. Kurz vor dem Abschließen setzen sich diese Ringe, die bei geöffnetem Zustand auf kleinen Nokken für den äußeren Ring am Gehäuse und für den inneren im äußeren Ring ruhen und freihängen, nacheinander auf dem Ventilegel und halten diese letzten Kontaktkugeln von der Dichtfläche zurück. Dadurch werden Abschlußzeiten erreicht, die nur etwa  $\frac{1}{4}$  der Zeit gegenüber dem Ventil ohne Ringe betragen. Soll weiterhin das Ventil gegen hohe Drücke dicht schließen, so kann die Dichtfläche des Ventilegels außerdem, mittels Inertgas beispielsweise, mit einer um das Gehäuse angeordneten Blasleitung vor dem Abschluß staubfrei geblasen werden und dadurch auch vor kleinsten Beschädigungen geschützt werden.

III. Theoretische Untersuchung der Regenerationsweise mit reiner Luft im Gleichstrom.

1.) Heizwert der koksartigen Ablagerungen.

Nach amerikanischen und eigenen Feststellungen haben die koksartigen Ablagerungen etwa den Aufbau  $C_{n,n}$ , d.h. sie bestehen nicht nur aus Kohlenstoff, sondern auch aus Kohlenwasserstoffen, die sich nicht vom Kontakt abspulen ließen. Eine besondere Beachtung verdient somit ihr Heizwert, der infolge des Wasserstoffanteiles höher als der des Kohlenstoffes sein muß.

$$1 \text{ kg } C_{n,n} \text{ setzt sich aus } 1/(12+1) = 0,077 \text{ kg H}_2 \text{ und} \\ 12/(12+1) = 0,923 \text{ kg C zusammen.}$$

Der Heizwert der Ablagerung beträgt somit

$$H_u = 0,077 \cdot 28570 + 0,923 \cdot 8050 = 2200 + 7440 \\ = 9640 \text{ kcal/kg, d.h. } \approx 10000 \text{ kcal/kg.}$$

Der Anteil der Verbrennungswärme des Wasserstoffs an der Gesamtverbrennungswärme beträgt somit

$$\frac{2200}{9640} \cdot 100 = 22,9\%.$$

Da die Verbrennung des C nach Feststellungen in einer Großversuchsanlage nach dem Festbettverfahren bei Regeneration des Kontaktes mit reiner Luft und etwa 20-fachem Luftüberschub nicht 100 %  $CO_2$ , sondern nur etwa 70 %  $CO_2$  und 30 % CO ergibt, was dadurch erklärt werden kann, daß die an der Oberfläche und in den Randzonen des Kontaktkornes sich befindenden Ablagerungen zu  $CO_2$  und diejenigen Ablagerungen, die im Inneren des Kontaktkornes (Korngröße betrug 6-8 mm stückig) abgelagert sind, infolge Sauerstoffmangel, da letzterer nicht genügend rasch durch die feinen Poren des Kontaktes in das Innere diffundieren kann, zu CO verbrennen, wird die tatsächlich freiwerdende und abzuführende Wärmemenge pro kg Ablagerungen verringert. Sie beträgt nur noch etwa 8000 kcal/kg. Die weiteren Rechnungen sind mit diesem Wert durchgeführt worden. Der Anteil der Verbrennungswärme des Wasserstoffs steigt dadurch auf 25,2 %. Die Menge des Verbrennungswassers, die beim Verbrennen von 1 kg  $C_{n,n}$  entsteht, beträgt  $1876 \text{ kg} = 0,692 \text{ kg H}_2O/\text{kg}$   $C_{n,n}$ , d.h. das Gewicht des Verbrennungswassers beträgt etwa 70 % des verbrannten Kokses. Als überheizter Dampf wird das entstandene Wasser vom Regenerationsgas bzw. von der Regenerationsluft mitgeführt. Bei diesen Rechnungen wurde die Spaltwärme der Kohlenwasserstoffe vernachlässigt.

### 2.) Spezifische Wärme des Kontaktes.

Da bei der kontinuierlichen Kontaktregeneration mit reiner Luft einen beachtlichen Teil der freiwerdenden Verbrennungswärme der Kontakt selbst aufnimmt, wurde die spezifische Wärme des Kontaktes von der Betriebskontrolle ermittelt. Es wurde die mittlere spezifische Wärme zwischen 200 und 400°C  $0,202 \text{ kcal/kg}^{\circ}\text{C}$  zwischen 200 und 600°C  $0,223 \text{ kcal/kg}^{\circ}\text{C}$  festgestellt u. zwischen 400 und 600°C  $0,244 \text{ kcal/kg}^{\circ}\text{C}$  daraus errechnet.

Den folgenden Rechnungen ist allgemein der Wert von  $0,25 \text{ kcal/kg}^{\circ}\text{C}$  zugrunde gelegt worden, da die obigen Werte erst während der Fertigstellung des Berichtes eintrafen.

### 3.) Wärmebilanz des Regenerationsprozesses.

Um ohne schädliche Kontaktüberhitzung mit Sauerstoffüberschüß oder mit reicher Luft regenerieren zu können, muß immer die durch die Kokaverbrennung freiwerdende Wärme ( $Q_{\text{Koks}}$ ) gleich derjenigen Wärme sein, die der Kontakt selbst bei seiner Aufwärmung während der Verbrennung ( $Q_{\text{Kont}}$ ) und die Verbrennungsluft ( $Q_L$ ) aufnimmt. Die Wärmebilanz lautet somit in der einfachsten Form:

$$Q_{\text{Koks}} = Q_{\text{Kont}} + Q_L$$

Da die Kokswärme und die Kontaktwärme als gegebene Größen angesommen werden müssen, muß die Wärme, die die Verbrennungsluft aufnimmt, durch Vergrößerung oder Verkleinerung der Luftmenge dem Regenerationsprozeß angepaßt werden. Daher ergibt sich, daß in den meisten Fällen mit einem 8-15fachen Luftüberschuß regeneriert werden muß, je nach Wahl der Kontakt-, Luftanfangs- und Endtemperaturen. Für die einzelnen Wärmemengen kann geschrieben werden:

$$Q_{\text{Koks}} = G_{\text{Koks}} \cdot H - G_{\text{Kont}} \cdot H/100$$

$$Q_{\text{Kont}} = G_{\text{Kont}} \cdot c_{\text{Kont}} \cdot (t_E - t_K)$$

$$Q_L = V_L \cdot c_L \cdot (t_E - t_L)$$

Hierbei bedeuten:

$G_{\text{Koks}}$  = Gewicht der abzubrennenden Koksmenge in  $\text{kg/m}^3$  Kontakt

$G_{\text{Kont}}$  = Koksbeladung des Kontaktes in Gew.%

$H$  = Heizwert des abzubrennenden Kokses =  $9000 \text{ kcal/kg} = \text{const.}$

$c_{\text{Kont}}$  = Schüttgewicht des Kontaktes =  $720 \text{ kg/m}^3$  Kontakt = const.

$c_{\text{Kont}}$  = Spez. Wärme des Kontaktes =  $0,25 \text{ kcal/kg}^{\circ}\text{C} = \text{const.}$

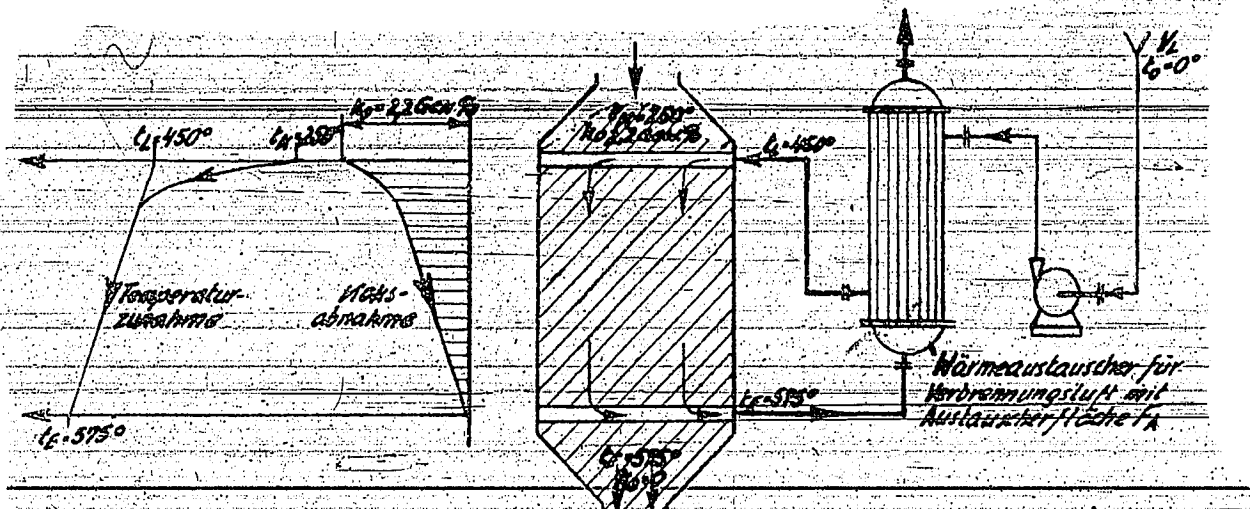
$c_L$  = Spez. Wärme der Luft =  $0,32 \text{ kcal/m}^3 \text{ °C} = \text{const.}$

$t_K$  = Temperatur des Kontaktes beim Beginn der Regeneration in °C.

$t_L$  = Temperatur der Luft beim Beginn der Regeneration in °C.

$t_E$  = Regenerationsendtemperatur in °C ist für Luft und Kontakt immer gleich.

In der folgenden Skizze ist schematisch das Regenerationsteil mit dem Wärmeaustauscher und Gebläse für die Luft dargestellt. Die Temperaturen sind für einen angenommenen Fall eingetragen. Im Diagramm links ist die Temperaturzunahme einerseits, sowie die Koksabnahme andererseits über den Regenerationsweg dargestellt. Mit zunehmender Temperatur nimmt der Koks ab. Die leichtverbrennlichen Teile verbrennen somit immer mit der tiefsten Temperatur und die schwerverbrennlichen Teile mit der höchsten Temperatur.



Im Diagramm 1 ist die Wärmemenge dargestellt, die  $1 \text{ m}^3$  Kontakt aufnehmen kann. Sie ist um so größer je kleiner die Kontakttemperatur und je größer die Endtemperatur ist.

Im Diagramm 2 ist die Koksmenge je  $\text{m}^3$  Kontakt dargestellt für verschiedene Koksbeladungen.

Im Diagramm 3 ist für verschiedene Kontaktanfangstemperaturen in Abhängigkeit vom Koksgehalt des Kontaktes, der in Gew.% vom Kontaktgewicht dargestellt ist, der prozentuale Anteil der gesamten Koksverbrennungswärme aufgezeichnet, der vom Kontakt selbst aufgenommen wird. Da für eine bestimmte Anfangs- und Endtemperatur des Kontaktes die vom Kontakt aufgenommene Wärme immer konstant ist, muß bei größer werdender Koksgröße der prozentuale Anteil immer kleiner werden. Bei einer entsprechend geringen Koksbeladung (etwa 1,2 Gew.% Koks/Kontakt) kann hingegen der Kontakt die gesamte Verbrennungswärme aufnehmen, so daß in diesem unteren Bereich mit der theoretisch erforderlichen Luftmenge regeneriert werden könnte.

Man ersieht, daß bei 2,2 Gew.% Kokabeladung etwa 50 % der Verbrennungswärme nicht mit der Verbrennungsluft abgeführt zu werden braucht. Die Wiederbelebungssparatur wird somit um so kleiner und einfacher, je kleiner die Kokabeladung des Kontaktes ist.

In Diagramm 4 ist die zur Wiederaufnahme erforderliche Regenerationsluftmenge ( $V_L$  in  $\text{Nm}^3/\text{s}$  Kont.) wieder abhängig von der Kokabeladung des Kontaktes dargestellt und zwar für verschiedene Kontakt- und Luftanfangstemperaturen und für verschiedene Regenerationsendtemperaturen. Bei konstanten Anfangs- und Endtemperaturen nimmt  $V_L$  mit steigender Kokabeladung des Kontaktes linear, jedoch nicht proportional, zu. Die Geraden schneiden die Abszisse bei der Kokabeladung, deren gesamte Verbrennungswärme vom Kontakt aufgenommen wird, so daß in dem Bereich zwischen Schnittpunkt und Ursprung mit der zur Verbrennung theoretisch erforderlichen Luftmenge die Regeneration durchgeführt werden kann.

Bei einer Kokabeladung von 2,2 Gew.%/Kont. beträgt die erforderliche Regenerationsluftmenge für die Anfangstemperaturen  $t_K = 250^\circ$  und  $t_L = 400^\circ$  und die Endtemperatur  $t_E = 600^\circ$   $1000 \text{ Nm}^3/\text{s}$  Kont. Wird  $t_K$  auf  $550^\circ$  verringert, so steigt  $V_L$  auf  $1520 \text{ Nm}^3/\text{s}$  Kont. infolge der um  $50^\circ$  kleineren Temperaturdifferenzen für den Kontakt  $t_K = t_E$  und für die Luft  $t_E = t_L$ . Wird andererseits die Kontaktanfangstemperatur  $t_K$  von  $250^\circ$  auf  $200^\circ$  erniedrigt und dafür die Luftanfangstemperatur  $t_L$  von  $400^\circ$  auf  $450^\circ$  erhöht, so beträgt  $V_L$  wieder bei 2,2 Gew.% Koks/Kont. bei einer Endtemperatur von  $600^\circ$   $1145 \text{ Nm}^3/\text{s}$  Kont., bei einer Endtemperatur von  $550^\circ$  dagegen  $2000 \text{ Nm}^3/\text{s}$  Kont. Eine Erhöhung der Luftanfangstemperatur  $t_L$  um einen gewissen Betrag kann keinesfalls ausgeglichen werden durch eine entsprechend gleiche Erniedrigung der Kontaktanfangstemperatur  $t_K$ . Um möglichst kleine Luftmengen zu erhalten, muß vor allem die Luftanfangstemperatur möglichst niedrig gehalten werden. Da für einen bestimmten Kohgehalt bei verschiedenen gewählten Regenerationsanfangs- und endtemperaturen die Luftmengen, wie aus obigen Beispielen ersichtlich, sehr stark schwanken, werden im Folgenden diese Abhängigkeiten genauer untersucht.

#### 4.) Die Regenerationsluftmengen für eine bestimmte Kokabeladung:

In Diagramm 5 ist für konstante Kontaktanfangstemperatur  $t_K = 450^\circ$  die erforderliche Luftmenge  $V_L$  in Abhängigkeit von der Kontaktanfangstemperatur  $t_K$  dargestellt, und zwar für die Endtemperaturen  $t_E = 550^\circ$ ,  $575^\circ$  und  $600^\circ$ . Es ist selbstverständlich, daß mit steigendem  $t_K$  einerseits und mit fallendem  $t_E$  andererseits die Regenerationsluftmenge zunimmt.

In Diagramm 6 ist für konstante Kontaktanfangstemperatur  $t_K = 200^\circ$  die erforderliche Luftmenge  $V_L$  in Abhängigkeit von der Luftanfangstemperatur  $t_L$  dargestellt wieder für die Endtemperaturen  $t_E = 550^\circ$ ,  $575^\circ$  und  $600^\circ$ . Auch hier ist es selbst-

verständlich, daß die Luftmengen mit zunehmendem  $t_L$  und fallenden  $t_E$  zunehmen müssen. Für  $V_L$  kann geschrieben werden:

$$V_L = \frac{G_{\text{Kont}} / \text{Kont} \cdot H/100 - e^{\frac{\text{Kont} \cdot (t_E - t_K)}{c_L (t_E - t_L)}}}{c_L (t_E - t_L)} \cdot \frac{K_1}{K_2 - t_L}$$

Die Zunahme der Luftmenge mit steigendem  $t_L$  verläuft nicht linear. Die analytische Untersuchung der Funktion  $V_L = f(t_L)$  ergibt, daß diese Kurven Hyperbeln sind. Die konstanten Glieder für eine Kurve können in den Konstanten  $K_1$  und  $K_2$  zusammengefaßt werden.

$$K_1 = \frac{G_{\text{Kont}} / \text{Kont} \cdot H/100 - e^{\frac{\text{Kont} \cdot (t_E - t_K)}{c_L (t_E - t_L)}}}{c_L}$$

$$K_2 = t_E$$

Für den Fall  $t_L = t_E$  wird  $V_L = \infty$ , d.h. bei  $t_L = t_E$  hat die Hyperbel eine Asymptote; die zweite auf der ersten senkrecht stehenden Asymptote ist die Abszisse selbst. Die Änderung der Luftmenge beispielsweise für eine bestimmte Steigerung von  $t_L$  muß um so größer sein, je größer  $t_L$  selbst ist.

In den Diagrammen 7, 8 und 9 ist für Koksbeladungen des Kontaktes von 1,7, 2,2 und 2,7 Gew.% die erforderliche Regenerationsluftmenge  $V_L$  für die Regenerationsendtemperaturen  $t_E = 600^\circ$  und  $t_E = 550^\circ$

1.) abhängig von der Kontaktanfangstemperatur  $t_K$  und

2.) abhängig von der Luftanfangstemperatur  $t_L$

in dreidimensionaler Darstellung aufgetragen, um für jeden möglichen Betriebszustand die Regenerationsluftmenge ohne Rechnung herausgreifen zu können.

$t_L$	$t_E = 400$	$t_E = 450$	
$t_K = 200$	1335	2000	$t_E = 550$
	860	1145	= 600
$t_K = 250$	1520	2280	= 550
	1000	1335	= 600

$V_L$  in  $\text{Nm}^3/\text{m}^3 \text{Kont.}$

Die für die Temperatursprünge von  $50^\circ$  bei einer konstanten Koksbeladung von 2,2 Gew.%/Kont. hier zusammengestellten Werte zeigen am eifachsten

1.) wie stark  $V_L$  mit steigendem  $t_L$  abnimmt,

2.) wie stark  $V_L$  mit steigendem  $t_L$  zunimmt und

3.) wie  $V_L$  ebenfalls mit steigendem  $t_K$  zunimmt.

Es wird eine wichtige Aufgabe für die technische Versuchsanlage sein, die optimalen Temperaturen, bei welchen noch eine einwandfreie Regeneration durchzuführen ist, zu ermitteln und die erforderlichen Luftmengen nachzuprüfen.

5.) Die Wärmeaustauscherflächen für Aufheizung der Regenerations-Frischluft an der Regenerations-Abluft.

Die auszutauschende Wärmemenge  $Q_A$  (kcal/m<sup>2</sup>Kont.) der Regenerationsluft, die erforderlich ist, um 1 m<sup>2</sup> Kontakt, der mit Ko(Gew.% Koks/Kont.) beladen ist, zu regenerieren, wird

$$Q_A = V_L \cdot c_L \cdot (t_L - t_A),$$

worin  $t_A$  die Temperatur der Außenluft ist;  $t_A$  wird in allen Rechnungen mit 0°C angenommen. Es ist dann

$$Q_A = V_L \cdot c_L \cdot t_L$$

Für die erforderliche Austauscherfläche kann dann geschrieben werden:

$$F_A = \frac{Q_A}{K \cdot \Delta t}, \text{ worin}$$

$\Delta t$  die mittlere Temperaturdifferenz zwischen Regenerationsfrischluft und Regenerationsabluft im Austauscher und  $K$  die Wärmedurchgangszahl ist.

Für  $t_A$  kann gesetzt werden, da Frisch- und Abluft immer die gleiche Menge haben.

$$\Delta t = t_g - t_L$$

Die Austauscherfläche ergibt sich dann zu

$$F_A = \frac{V_L \cdot c_L \cdot t_L}{K \cdot (t_g - t_L)} = \frac{t_L \cdot c_L \cdot K \cdot H / 100 \cdot e_{\text{Kont}} (t_g - t_K)}{K \cdot (t_g - t_L)^2} \quad \left[ \frac{\text{m}^2}{\text{m}^2 \text{Kont. und Std.}} \right]$$

Die Wärmedurchgangszahl  $K$  wird in allen Rechnungen konstant mit 15 kcal/h m<sup>2</sup> und 0°C eingesetzt. Die errechnete Austauscherfläche ist dann jeweils so groß, daß die Wärmemenge  $Q_A$  in einer Stunde ausgetauscht werden kann.

In Diagramm 5 (gestrichelte Kurven, zugehörige Ordinate rechts) ist für die Koksbeladung von 2,2 Gew.%/Kont. untersucht, wie sich die erforderliche Austauscherfläche bei zunehmender Kontaktanfangstemperatur vergrößert, wenn  $t_L = 450^\circ = \text{const.}$  ist.

Da außer  $t_L$  auf der rechten Seite der Gleichung für  $F_A$  alle Werte in diesem Fall konstant sind, ist leicht zu erkennen, dass  $F_A$  linear, jedoch nicht proportional zu  $t_K$  zunehmen muss. Die Kurven sind für die Endtemperaturen  $t_E = 600^\circ$ ,  $575^\circ$  und  $550^\circ$  berechnet. Mit steigender Endtemperatur muss  $F_A$  kleiner werden (jedoch nicht linear).

Im Diagramm 6 ist für die gleiche Kokobeladung, jedoch für steigende Luftanfangstemperaturen wieder für die gleichen Werte von  $t_E$ ,  $F_A$  eingetragen, wobei  $t_K = 200^\circ = \text{const.}$  angenommen ist. Die Zunahme von  $F_A$  mit steigender Luftanfangstemperatur ist hier sehr groß und es ist ihre Dimensionierung in einer Großanlage besonders zu beachten. Es ist wichtig, ob die Luftanfangstemperatur  $400^\circ$  oder beispielsweise  $425^\circ$  betragen muss.

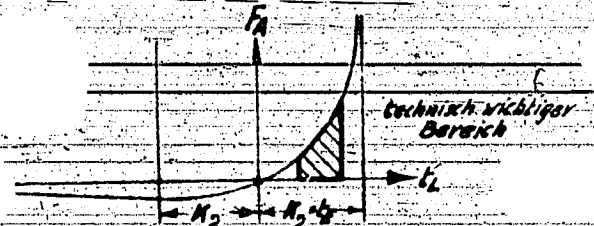
Da in diesem Fall alle Glieder der rechten Seite der Gleichung für  $F_A$  außer  $t_L$  konstant sind, kann sie zwecks einfacher analytischer Betrachtung durch Einsetzen der Konstanten

$$F_A = \frac{K_1 \cdot t_L}{(K_2 - t_L)^2}$$

geschrieben werden. Die Konstanten  $K_1$  und  $K_2$  haben folgenden Wert:

$$K_1 = \frac{0_{\text{Kont}}}{K} \sqrt{K_0 \cdot H/100 - c_{\text{Kont}} (t_E - t_K)}, \quad K_2 = t_E$$

$F_A$  wird also durch eine gebrochene rationale Funktion dargestellt. Für den Fall  $t_L = t_E$  wird  $F_A = \infty$ . Bei  $K_2 = t_E = t_L$  befindet sich eine vertikale Asymptote. Die Kurve geht durch den Koordinatenursprung und bei  $K_2 = t_L$  ist ein Minimum; weiterhin verläuft die Kurve asymptotisch zur Temperaturachse. Der ungefähre Verlauf ist folgender:



In den Diagrammen 10-12 ist wieder für die Kokobeladungen 1,7, 2,2 und 2,7 Gew.%/Kont. die Austauschfläche in dreidimensionaler Darstellung über  $t_L$  und  $t_E$  für  $t_K = 550$  und  $600^\circ$  dargestellt, um die Abhängigkeit von  $F_A$  für möglichst viele Fahrweisen anschaulich darzustellen, da die Austauschfläche wesentlich stärker von  $t_L$  und  $t_E$  abhängig ist, als die Regenerationsluftmenge. Um möglichst leicht einen Überblick über diese Abhängigkeiten zu erhalten, werden wieder für Temperatursprünge von  $50^\circ$  für  $t_K$ ,  $t_L$  und  $t_E$  und eine konstante Kokobeladung von 2,2 Gew.% die Werte für  $F_A$  zusammengestellt.

	$t_L = 400$	$t_L = 450$	
$t_K = 200$	76,1	192	$t_E = 550$
$t_K = 250$	36,7	73,3	$t_E = 600$
	86,3	219	-
	42,6	83,6	$t_E = 550$
	$F_A$ in $\text{m}^2/\text{m}^3 \text{Kont. und Std.}$		

Infolge dieser großen Abhängigkeit von  $F$  wird beabsichtigt, in der technischen Versuchsanlage (Ma 56) die Wärmetauscher erst dann aufzustellen, wenn die ersten Versuchsergebnisse vorliegen, um sie genau dimensionieren zu können. In der vorhandenen eingangs beschriebenen halbtechnischen Versuchsanlage ist es infolge ihrer Kleinheit nicht möglich, diese Fragen eindeutig zu klären, da durch Abstrahlungen und Temperaturfehlmessungen die Werte noch zu mehr verfälscht werden.

#### 6.) Die Regenerationsendtemperaturen:

Im praktischen Betrieb einer Ofenanlage werden normalerweise die zu regenerierende Kontaktmenge, die Koksbeladung des Kontaktes, die Kontaktanfangstemperatur, die Luftanfangstemperatur und die Luftmenge immer weitgehend konstant sein, somit wird auch die Regenerationsendtemperatur konstant und der Temperaturverlauf im Regenerationsteil stationär sein. Es können aber Fälle eintreten, beispielsweise durch Betriebsstörung an einem Kontakt-Kühl- und -Spülkreislauf usw., wo dieser Zustand plötzlich gestört wird.

Die folgende rechnerische Untersuchung zeigt, welchen Einfluss Schwankungen

1.) der Kontaktanfangstemperatur  $t_K$ ,

2.) der Luftanfangstemperatur  $t_L$  und

3.) der Koksbeladung  $Ko$

bei einer konstanten Regenerationsluftmenge  $V_L$  auf die Regenerationsendtemperatur ausüben.

Für die Wärmebilanzgleichung bei der Regeneration

$$Q_{Koks} = Q_{Kont} + Q_L \text{ kann geschrieben werden:}$$

$$Ko \cdot c_{Kont} \cdot H/100 = Q_{Kont} \cdot c_{Kont} (t_E - t_K) + V_L \cdot c_L (t_E - t_L)$$

Daraus ergibt sich für die Regenerationsendtemperatur:

$$t_E = \frac{Q_{Kont} \cdot c_{Kont}}{Q_{Kont} \cdot c_{Kont} + V_L \cdot c_L} \cdot t_K + \frac{V_L \cdot c_L}{Q_{Kont} \cdot c_{Kont} + V_L \cdot c_L} \cdot \frac{Q_{Kont} \cdot H/100}{c_{Kont} \cdot c_{Kont} + V_L \cdot c_L} \cdot Ko$$

$$\text{oder } t_E = K_1 \cdot t_K + K_2 \cdot t_L + K_3 \cdot Ko,$$

worin die Konstanten  $K_1$ ,  $K_2$  und  $K_3$  folgende Werte haben:

$$K_1 = \frac{Q_{Kont} \cdot c_{Kont}}{Q_{Kont} \cdot c_{Kont} + V_L \cdot c_L}, \quad K_2 = \frac{V_L \cdot c_L}{Q_{Kont} \cdot c_{Kont} + V_L \cdot c_L}, \quad K_3 = \frac{Q_{Kont} \cdot H/100}{Q_{Kont} \cdot c_{Kont} + V_L \cdot c_L}$$

Von der Regenerationsluftmenge  $V_L$  sind die Konstanten noch abhängig. Für die verschiedenen Regenerationsluftmengen haben sie beispielweise folgende Werte:

$V_L$	1000	1500	2000 $\text{Nm}^3/\text{m}^3 \text{Kont.}$
$t_E$	0,360	0,275	0,220
$t_K$	0,640	0,727	0,780
$t_R$	115,1	87,2	70,2

Im Diagramm 13 ist für die konstante Koksbeladung von 2,2 Gew.%/Kont. und für die Regenerationsluftmengen von 1000, 1500 und 2000  $\text{Nm}^3/\text{m}^3 \text{Kont.}$  die Regenerationsendtemperatur aufgetragen, abhängig wieder von  $t_K$  und  $t_L$ . Für die einzelnen Regenerationsluftmengen sind die  $t_E$ -Ebenen eingezeichnet; die  $t_E$ -Werte müssen um so kleiner sein, je größer  $V_L$  ist, außerdem werden sie um so kleiner, je kleiner die Kontaktanfangstemperatur  $t_K$  ist. Der Einfluß der Kontaktanfangstemperatur ist jedoch nicht so groß wie der Einfluß der Luftanfangstemperatur  $t_L$ . Mit steigendem  $t_K$  nimmt  $t_E$  stärker zu. Beachtenswert ist jedoch, daß die Zunahme um so größer ist, je größer  $V_L$  ist. Die einzelnen  $t_E$ -Ebenen für  $V_L = \text{const.}$  schneiden sich in einer Geraden.

Für den Fall, der allerdings keine praktische Bedeutung hat,  $t_L = 976^\circ$  bei  $t_K = 275^\circ = \text{const.}$ , ist  $t_E = t_L = 976^\circ$  ganz gleich wie groß  $V_L$  ist, da in diesem Fall der Kontakt die gesamte Verbrennungsärme aufnimmt, eine gleiche Koksbeladung von 2,2 Gew.%/Kont. vorausgesetzt.

Um leicht einen Überblick zu erhalten, in welchem Maße  $t_E$  abhängig ist bei Änderungen der Regenerationsbedingungen, wird für einen Bereich, welcher alle Voraussicht nach den optimalen Bereich einschließt, für zwei Regenerationsluftmengen, zwei Kontaktanfangs-, zwei Luftanfangstemperaturen und zwei Koksbeladungen die erreichbare Regenerationsendtemperatur angegeben.

I.)  $V_L = 1000 \text{Nm}^3/\text{m}^3 \text{Kont.}$

II.)  $V_L = 1500 \text{Nm}^3/\text{m}^3 \text{Kont.}$

$t_K$	$t_L = 400$		$t_L = 450$	
	$t_E$	Gew.%	$t_E$	Gew.%
$t_K = 200$	553,2	2,0	519,5	2,0
	531,5	2,2	536,8	2,2
$t_K = 250$	576,2	2,0	533,1	2,0
	599,5	2,2	550,4	2,2

In Diagramm 14, 15 und 16 wird für die Regenerationsluftmengen  $V_L = 1000, 1500$  und  $2000 \text{ m}^3/\text{m}^3$  Kont. und jeweils für Koksbeladungen 2,0, 2,2 und 2,4 Gew.%/Kont.  $t_E$  in dreidimensionaler Darstellung wieder für veränderliches  $t_K$  und veränderliches  $t_L$  als Ordinate die sich ergebende Regenerationsendtemperatur  $t_E$  angegeben.

Aus den Diagrammen 13 bis 16 und vorstehenden Zahlentafeln entnommenen Werten für  $t_E$  ist ersichtlich, daß sich  $t_E$  bei einer Änderung von

	$V_L = 1000 - 1500$
$t_K \text{ um } 50^\circ \text{ um}$	$18 - 14^\circ$
$t_L \text{ um } 50^\circ \text{ um}$	$32 - 36^\circ$
$Ko \text{ um } 0,2 \text{ Gew.-% um}$	$23 - 17^\circ$

bei sonst jeweils konstanten Betriebsbedingungen vergrößert.

So große Änderungen in der Koksbeladung, sowie Temperaturschwankungen von  $50^\circ$ , werden bei einem gut geregulierten Betrieb nicht vorkommen, so daß normalerweise auch eine Kontaktgefährdung durch schädliche Überhitzung infolge Überschreitung der obersten  $600^\circ$ -Grenze für  $t_E$  in Anbetracht der kontinuierlichen Fahrweise nicht eintreten kann.

Es sei aber auf eine Beobachtung am 20 Ltr-Ofen hingewiesen. Es wurde festgestellt, daß Schwankungen der Kontaktanfangstemperatur, die durch den Wechsel des Kontaktbehälters in den zweiten Vorratsbehälter (s. Abb. 1) hervorgerufen wurden dadurch, daß der Kontakt des neuen Behälters etwa  $50^\circ$  heißer war als der, letzte Rest des vorhergehenden Behälters, der sich in etwa der 3-5-stündigen Zwischenzeit abgeschüttet hatte trotz guter Isolation, die Regenerationsendtemperatur  $t_E$  nicht etwa nur um  $14-16^\circ$  anstieg, sondern um etwa  $100^\circ$ .

Dieser Widerspruch zu den vorstehenden Rechnungen kann nur dadurch erklärt werden, daß infolge der höheren Kontaktanfangstemperatur die Verbrennungsgeschwindigkeit, die vorher in einem Art Gleichgewicht mit der tieferen Kontaktanfangs- und Luftanfangstemperatur, sowie vor allem auch mit der Regenerationsluftmenge stand, sich ziemlich rasch infolge der größeren Kontaktanfangstemperatur erhöhte, so daß die zunächst weiterhin konstant gehaltene Regenerationsluftmenge nicht ausreichte, um die infolge der wesentlich größeren Verbrennungsgeschwindigkeit freiwerdende Wärmemenge abzuführen. Somit steigerte sich Luft- und Kontakttemperatur. Dieses Zunehmen führt wiederum zu einer weiteren Steigerung der Verbrennungsgeschwindigkeit. Es tritt also, wenn das Gleichgewicht einmal merklich gestört ist, eine Aufschanklung ein, die zu Kontaktenschädigungen führen kann.

Der geschilderte Vorgang zeigte eine Aufschaukelung nach oben, selbstverständlich kann man sich diesen Vorgang auch umgekehrt bei beispielsweise abnehmender Kontakt- oder Luftanfangstemperatur vorstellen. Es kann dann ein sehr rasches Abklingen des Verbrennungsvorganges eintreten, so daß der Kontakt schlecht ausregeneriert nach dem Kräckraum rutscht.

Da der Verbrennungsvorgang infolge der mangelnden Kenntnis der chemischen Konstitution der koksartigen Ablagerungen, die etwa 8,5 Gew.% Wasserstoff enthalten, nicht bekannt ist, kann hier vielleicht als Ersatz eine Untersuchung von Rosin und Fehling (Rosin, Kayser und Fehling: Die Zündung fester Brennstoffe auf dem Rost, Untersuchungen über das Zündverhalten, Bericht D 51 des Reichskohlenrates weiterhin gekürzt in Gumz: Kurzes Handbuch der Feuerungstechnik, Springer 1942) über die Zündung fester Brennstoffe herangezogen werden. Sie stellen fest, daß auch Kohle in dem Temperaturbereich von 200-1400 durch das Gesetz von van't Hoff-Arrhenius, worin  $K$  die Geschwindigkeitskonstante ist, dargestellt werden kann.

$$K = e^{-\frac{A}{T}} = e^{15,7 - \frac{6220}{T}} \text{ [kcal/m}^2 \text{ h]}$$

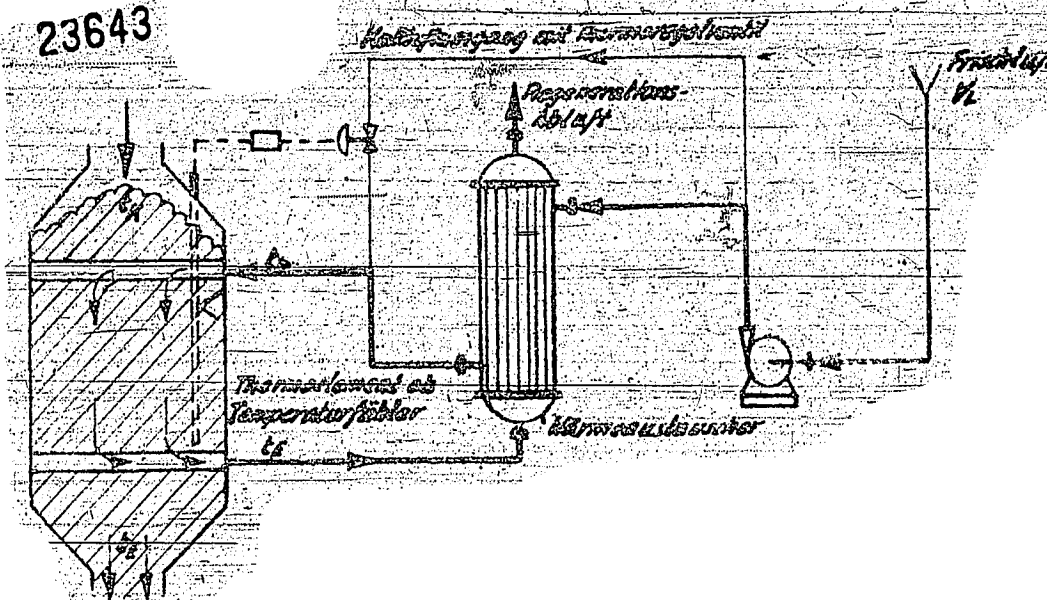
Es ist  $e = 2,718$ , Basis der nat. Logarithmen und  $T$  die Reaktionstemperatur in K. Rosin und Fehling erhalten danach für

$t = 200^\circ\text{C}$	$K = 13 \text{ kcal/m}^2 \text{ h}^2$
$400^\circ\text{C}$	$638 \text{ kcal/m}^2 \text{ h}$
$600^\circ\text{C}$	$19988 \text{ kcal/m}^2 \text{ h}$
$1200^\circ\text{C}$	$96460 \text{ kcal/m}^2 \text{ h}$

Diese Werte gelten für eine Eßkohle, die einen Wasserstoffgehalt von etwa 6-7 Gew.-% auf C + H<sub>2</sub> bezogen, hat. Die koksartigen Ablagerungen haben grobenordnungsmäßig etwa den gleichen Wasserstoffgehalt (8-9 Gew.-%). Es ist deshalb der Schluß berechtigt, daß die Temperaturabhängigkeit ihrer Verbrennungsgeschwindigkeit weitgehend ähnlich der Gesetzmäßigkeit der untersuchten Kohle ist.

Da in der technischen Versuchsanlage, aber auch an einer Großanlage, ähnliche Aufschaukelungen beispielsweise durch nicht sofort erkennbare Störungen in der Kontaktabkühlung eintreten können, ist es ratsam, die Regenerationsluftmenge oder besser die Regenerationslufttemperatur  $t_L$  mit Hilfe eines von der Regenerationstemperatur automatisch gesteuerten Ventils, welches in einer Wärmetauscher- bzw. Luftvorheizerumgangleitung sich befindet, durch Kaltluftzumischung die Lufttemperatur  $t_L$  jeweils soweit herabzudrücken, daß die Verbrennungsgeschwindigkeit und somit auch die Regenerationsendtemperatur  $t_E$  in den erlaubten, den Kontakt nicht schädigenden, Grenzen bleibt. Ähnliche Temperaturregelvorrichtungen werden auch in den Kühl- bzw. Spülkreisläufen vorteilhaft sein. Diese Regelung der Regenerationsendtemperatur mit Hilfe eines Temperaturfühlers wird auch bei Regeneration mit fest angeordnetem Kontakt möglich sein.

23643



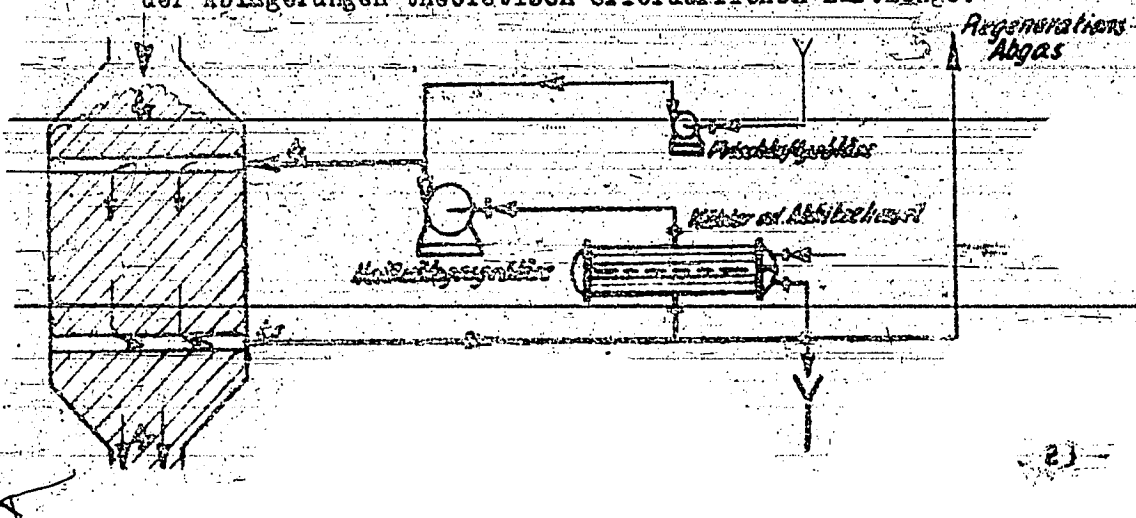
Wird die Regenerationsluftmenge bei sonst gleichen Regenerationsbedingungen verändert, so erhöht sich  $t_3$  mit fallendem  $V_L$ . Arbeiten in einer Großanlage beispielsweise drei Gebläse auf einem Ofen, so wird der Ofen durchgehen, wenn ein Gebläse davon infolge Betriebsstörung plötzlich ausfällt. Auch für diesen Fall sind entsprechende Maßnahmen vorzusehen um eine Kontaktschädigung zu verhindern.

#### 7.) Berechnung über den Wasserdampfgehalt im Regenerationsgas

Der zur Verwendung kommende Kräckkontakt ist bekanntlich wasserdampfempfindlich. Da beim Abbrennen von 1 kg Koks der Zusammensetzung C: H: O = 0,692: 0,07: 0,23 (entspricht bei  $500^\circ$  und 0 atm 3,6 : 0,692 = 2,5 m<sup>3</sup> Dampf) entstehen, tritt eine Anreicherung der Regenerationsluft mit Wasserdampf ein. Diese Wasserdampfanreicherung soll so niedrig sein, dasshalb kommen z.Zt. Regenerationsverfahren mit Umlösung von Heißgas (vor allem beim Festbettverfahren), aus welchen nur die im Kontaktöfen jeweils eingeführte Kokverbrennungswärme abgeführt wird, nicht in Betracht.

Es soll zunächst für zwei verschiedene Arten von Heißgasumwälzung für bestimmte Annahmen der Wasserdampfgehalt im Regenerationsgas berechnet werden.

Fall 1) Die dem Kreislauf zugesetzte Last entspricht der zur Verbrennung der Abgasgerügen theoretisch erforderlichen Luftmenge.



- 23 - Annahme: Koksbeladung Ko = 2,2 Gew.%/Kont.

$$G_{\text{Koks}} = 15,8 \text{ kg/m}^3 \text{ Kont.}$$

Entstehender Wasserdampf: Bei Verbrennung von 1 kg Koks werden  $0,692 \text{ kg H}_2\text{O Da.}$  gebildet, <sup>+) dieser hat bei  $500^\circ$  ein Volumen von  $3,6 \cdot 0,692 = 2,5 \text{ m}^3/\text{kg Koks.}$</sup>

Die bei der Regeneration von  $1 \text{ m}^3 \text{ Kont.}$  entstehende Dampfmenge ist:

$$V_{\text{Da.}} = 2,5 \cdot 15,8 = 39,4 \text{ m}^3 \text{ Dampf (500°) / m}^3 \text{ Kont.}$$

Die zur Verbrennung von  $15,8 \text{ kg Koks}$  theoretisch erforderliche Luftmenge ist:

$$V_{\text{L th.}} = 15,8 \cdot 10 = 158 \text{ Nm}^3/\text{m}^3 \text{ Kont.}$$

Da bei kontinuierlichem Betrieb im Beharrungszustand die gesamte pro Zeiteinheit gebildete  $\text{H}_2\text{O Da.}$ -Menge in der gleichen Zeiteinheit im Abgas enthalten sein muß, läßt sich der Da.-Gehalt aus der Zusammensetzung des Abgases zugleich am Kontaktrotaustritt bzw. Eintritt berechnen. Damit der Frischluft auch, je nach Wetterlage, Wasserdampf zugeführt wird, wie aus dem Diagramm 18 zu entnehmen ist, tritt eine Überlagerung des Verbrennungswasserdampfs und des Frischluftwasserdampfs dann ein, wenn die Regeneration praktisch drucklos erfolgt. <sup>++)</sup> Für den Frischluftwasserdampf wird ein Jahresmittel von etwa 1 Vol.-% angenommen:

$w_{\text{A ges.}}$  und  $w_{\text{E ges.}}$  seien der Wasserdampfgehalt in Vol.-% am Austritt und Eintritt des Ofens.

$w_L$  sei der Wasserdampfgehalt in Vol.-% der Frischluft (vom Diagramm 18):

$w_{\text{A verb.}}$  und  $w_{\text{E verb.}}$  seien der Verbrennungswasserdampf in Vol.-% am Austritt und Eintritt des Ofens.

Es gilt dann:

$$w_{\text{A ges.}} = w_{\text{A verb.}} + w_L$$

$$w_{\text{E ges.}} = w_{\text{E verb.}} + w_L$$

Aus den Wasserdampfgehalt des Abgases bzw. am Ofenaustritt kann demnach geschrieben werden:

$$\frac{V_{\text{Da.}}}{V_{\text{L th.}}} = \frac{100}{w_{\text{A ges.}} + w_{\text{E ges.}} + w_L}$$

Zu beachten ist nur, daß die Volumina von  $V_{\text{L th.}}$  und  $V_{\text{Da.}}$  bei gleicher Temperatur, beispielsweise  $500^\circ\text{C}$ , einzusetzen sind.

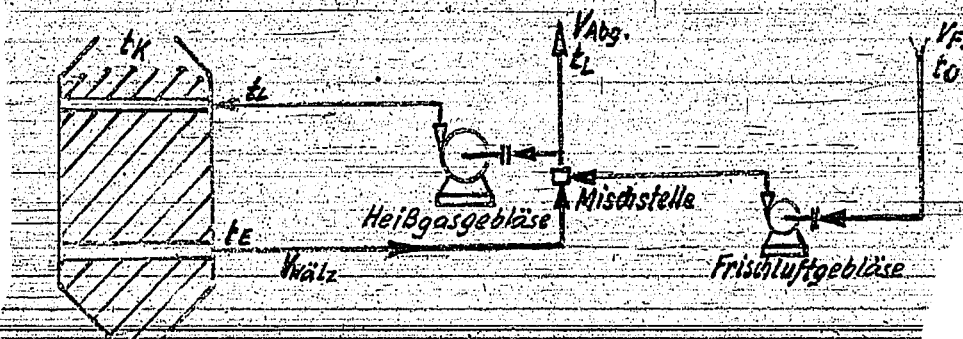
$$w_{\text{A ges.}} = \frac{29,4 \cdot 100}{273 + 500} + 1 = 8,2 + 1 = 9 \text{ Vol.-%}$$

$$w_{\text{E ges.}} = \frac{158}{273} = 59,4 \text{ Vol.-%}$$

<sup>1)</sup> vgl. Seite 11

<sup>++)</sup> bei Regeneration unter Druck wird hinter den Kompressoren das meiste Wasser abgeschieden.

Fall 2) Wird diese Fahrweise soweit abgewandelt, daß die Verbrennungswärme nicht in einem Kühler oder Abhitzkessel abgeführt wird, sondern führt man jeweils dem umzuwälzenden Heißgas so viel kalte Frischluft zu, daß die Mischtemperatur des heißen Wälzgases, welches mit der Regenerationsendtemperatur den Ofen verläßt und der Frischluft (die die Temperatur  $t = 0^\circ$  haben soll) gleich der gewünschten Wälzgasanfangstemperatur  $t_L$  ist, so erhält man bei der Praxis entlehnten Regenerationsbedingungen einen überraschend niedrigen Wasserdampfgehalt.



$$\text{Annahmen: } G_{\text{K}} = \text{Kokstbeladung} = 2,2 \text{ Gew.\% / Kont.}$$

$$t_K = \text{Kontaktaufangstemperatur} = 300^\circ\text{C}$$

$$t_L = \text{Wälzgasanfangstemperatur} = 450^\circ\text{C}$$

$$t_B = \text{Regenerationsendtemperatur} = 550^\circ\text{C}$$

$$t_G = \text{Frischlufttemperatur} = 0^\circ\text{C}$$

Wärmebilanz für  $1 \text{ m}^3$  Kont.

$$Q_{\text{Koke}} = G_{\text{K}} \cdot G_{\text{K}} \cdot H/100 = 720 \cdot 2,2 \cdot 6000/100 = 127000 \text{ kcal/m}^3 \text{ Kont.}$$

$$Q_{\text{Kont}} = G_{\text{K}} \cdot G_{\text{K}} \cdot (t_E - t_K) = 720 \cdot 0,25 \cdot (550 - 300) = 45000 \text{ kcal/m}^3 \text{ Kont.}$$

$$Q_{\text{Wahl}} = Q_{\text{Koke}} = Q_{\text{Kont}} = 82000 \text{ kcal/m}^3 \text{ Kont.}$$

Die Regenerationsatgasmenge  $V_{\text{Abg.}}$  muß, da der Druck im Ofen über die Zeit konstant bleiben soll, gleich der Frischluftmenge  $V_{\text{Fr.}}$  sein. Der beim kontinuierlichen Regenerieren pro Zeiteinheit entstehende Wasserdampf muß, nachdem sich der Kreislauf mit  $\text{H}_2\text{O-Da.}$  angewirkt hat und Beharrungszustand eingetreten ist, in der gleichen Zeiteinheit mit dem Abgas  $V_{\text{Abg.}}$  abgeführt werden. Der für das Abgas zu erreichende Wasserdampfgehalt muß gleich dem Wasserdampfgehalt des Wälzgases hinter der Mischstelle oder am Ofeneingang sein.

Das Abgas wird mit der Temperatur  $t_L$  abgeführt gemäß Annahme. Die Abgasmenge muß, da die zugeführte Wärme der abgeführten Wärme gleich sein muß, so groß sein, daß die gesamte Kokstverzehrungswärme weniger der Wärmemenge, die der Kontakt aufnimmt, mit abgeführt werden kann.

Es kann demnach geschrieben werden:

$$V_{\text{Abg.}} = V_{\text{Fr.}} = \frac{V_{\text{Koks}} \cdot V_{\text{Kont}}}{c_L \cdot (t_F - t_0)} = \frac{V_{\text{Wals}}}{c_L \cdot t} = 82000 / 0,32 \cdot 450 = 570 \text{ m}^3 / \text{m}^3 \text{ Kont.}$$

Das Wasserdampfvolume entspricht demjenigen von Fall 1). Der Gehalt an Verbrennungswasserdampf hinter der Mischstelle im Abgas, also auch am Ofeneingang, ist demnach

$$w_{\text{verb.}} = \frac{39,4 \cdot 100}{570 \frac{500+273}{273} + 39,4} = 2,39 \text{ Vol.\% H}_2\text{O Da.}$$

Die Wälgassmenge  $V_L$  ist:

$$V_{\text{Wals}} = \frac{V_{\text{Wals}}}{c_L \cdot (t_F - t)} = 82000 / 0,32 \cdot (550 - 450) = 2560 \text{ m}^3 / \text{m}^3 \text{ Kont.}$$

Zu diesem Wälgas werden an der Mischstelle 570 m<sup>3</sup> Frischluft zugesetzt (der Wasserdampfgehalt der Frischluft bleibt zunächst noch unberücksichtigt).

$$V_{\text{Wals}} + V_{\text{Fr.}} \text{ haben somit den Wasserdampfgehalt } w_{\text{verb.}}$$

Der Wasserdampfgehalt am Ofenaustritt ist demnach:

$$w_{\text{verb.}} = \frac{(V_{\text{Wals}} + V_{\text{Fr.}}) w_{\text{verb.}}}{V_{\text{Wals}}} = (2560 + 570) \cdot 2,39 / 2560 = 2,92 \text{ Vol.\%}$$

Bei Berücksichtigung des Wasserdampfgehalts der aus der Atmosphäre aufgesaugten Frischluft (wieder etwa 1 Vol.\% als Jahresmittel) ergibt sich

$$\text{am Ofeneingang } w_{\text{verb.}} = 2,39 + 1 = 3,4 \text{ Vol.\%}$$

$$\text{am Ofenausgang } w_{\text{verb.}} = 2,92 + 1 = 4,0 \text{ Vol.\%}$$

Der Sauerstoffgehalt im Wälgas am Ofeneingang wird noch errechnet:

Es wird wieder, wie bei der Wasserdampfberechnung, davon ausgegangen, daß der gesamte mit der Frischluft zugeführte Sauerstoff, der im Überschub vorhanden ist, nach Erreichung des Beharrungszustandes mit dem Abgas wieder abgeführt werden muß. Es kann daher geschrieben werden:

$$\text{O}_2 \text{ im Abgas} = (V_{\text{Fr.}} + V_{\text{verb.}}) \cdot 0,21 = (570 - 158) \cdot 0,21 = 86,5 \text{ m}^3 \text{ O}_2 / \text{m}^3 \text{ Kont.}$$

$$\text{O}_2\text{-Gehalt im Abgas} = 86,5 \cdot 100 / 570 = 15,2 \text{ Vol.\%}$$

Da das Abgas nur Teilstrom des auf den Ofen gehenden Wälgases ist, muß letzteres die gleiche Sauerstoffkonzentration haben.

Wenden nun die Annahmen für die Fahrweise im Fall 2) bei gleicher Koksbeladung des Heizkastes und gleicher Frischlufttemperatur im praktisch möglichen Bereich etwas variiert, so gelangt man zu den nachstehenden Werten:

	I	II	III
$t_X$ °C	300	250	250
Annahmen: $t_L$ °C	450	425	400
$t_B$ °C	550	575	600
V. Walz. $\text{Nm}^3/\text{m}^3$ Kont.	2560	1430	1000
V. AF. $\text{Nm}^3/\text{m}^3$ Kont.	370	504	500
Ergebnisse: $w_E$ verb. %	2,39	2,77	2,71
$w_A$ verb. %	2,92	3,75	4,06
$w_E$ gas. %	5,4	3,8	3,7
$w_A$ ges. %	4,0	4,8	5,1

Die praktische Anwendung dieses Verfahrens ist jedoch nicht so groß, selbst unter der Voraussetzung, daß ein Betrieb mit einem bei  $400-450^\circ$  arbeitenden Heißgasgebläse keine Schwierigkeiten macht. Die unzuverlässige Heißgasmenge entspricht in diesem Fall, von den übrigen Regenerationsbedingungen ( $X_0$ ,  $t_X$ ,  $t_L$ ,  $t_B$ ), der Wasserdampfgehalt ausgenommen, gleich sind, der anzusaugenden Luftmenge beim Betrieb mit Wärmeaustauschern, also bei Regeneration im geraden Durchgang. Der Hauptanteil der Heißgasumwälzung liegt darin, daß die Verdichtungsenergie für das gleiche Walzgas- bzw. Luftgewicht bei gleichem Verdichtungsverhältnis proportional mit dem Volumen, also auch linear, mit steigender Temperatur zunimmt. Infolge der größeren Verdichtungsenergie bei Heißgasumwälzung wird, wenn nur überschlägig der Stromverbrauch mit 1 Rpf/kWh und für 3-jährigen Betrieb in Rechnung gesetzt wird, die Heißgasumwälzung trotz der Einsparung der Wärmeaustauscher teurer. Folgende Kostenverhältnisse können nach dem jetzigen Stand angegeben werden:

I	II
Betrieb mit Wärmeaustauschern	Kosten für Heißgasumwälzung
Elektrische Energie für Regenerationsluft (5 Jahre) und Kosten für Wärmeaustauscher (Anschaffungspreis).	Elektrische Energie für Walzgas und Frischluft (5 Jahre) Mehrpreis für Heißgasgebläse.
1 Rpf/kWh	1,25
2 Rpf/kWh	1,55

Im Diagramm 17 ist der Wasserdampf der Frischluft in Gramm/m<sup>3</sup> für verschiedene Sättigungsgrade abhängig von der Außentemperatur aufgetragen.

Im Diagramm 18 ist der Wasserdampfgehalt der Frischluft in Vol.% wieder für verschiedene Sättigungsgrade abhängig von der Außentemperatur dargestellt. Diese Werte können im Verlaufe eines Jahres etwa zwischen 0,2 und 3 Vol.% schwanken. Im Jahresmittel wird 1 Vol.% geschätzt, dies entspricht etwa einer 70%-Sättigung der Luft mit Wasserdampf, bei einer Außentemperatur von 12°C. Dieser Wert wurde auch den bisherigen Betrachtungen bereits zugrunde gelegt.

Im Diagramm 19 ist für Regeneration im geraden Durchgang der Wasserdampfgehalt der den Kontaktöfen verlassenden Regenerationsluft abhängig, von der Koksbeladung des Kontaktes für bestimmte Regenerationsanfangs- und -endbedingungen aufgetragen. Mit kleiner werdender Koksbeladung nimmt der Verbrennungswasserdampfgehalt in der Regenerationsluft zu, denn nach Diagramm 3 nimmt der Anteil der Wärmemenge, die der Kontakt während der Verbrennung aufnimmt, sehr stark zu, so daß als Folge die Regenerationsluftmenge stärker abnimmt, als es der Abnahme der Ablagerungen entsprechen müßte. Infolge der erheblich kleineren Luftmengen bei niederen Koksbeladungen muß also der Wasserdampfgehalt höher sein.

Im Diagramm 20 ist wieder für Regeneration im geraden Durchgang, jedoch für den konstanten Koksgehalt von 2,2 Gew.%/Kont., der Wasserdampfgehalt der Regenerationsluft in dreidimensionaler Darstellung abhängig von der Kontaktanfangstemperatur  $t_K$  und der Luftanfangstemperatur  $t_L$  für die Regenerationsendtemperaturen  $t_E = 550^\circ$  und  $600^\circ$  aufgezeichnet. Vergleicht man Diagramm 20 mit Diagramm 8, in welchem für die gleiche Koksbeladung auch wieder  $t_K$  und  $t_L$  die erforderliche Regenerationsluftmenge für  $t_E = 550^\circ$  und  $600^\circ$  aufgetragen ist, so ist wieder zu sehen, daß der Wasserdampfgehalt um so niedriger ist, je größer die Regenerationsluftmenge ist, da die Verdunstung dann am stärksten ist.

Es werden demnach im Jahresmittel etwa 2 Vol.% Wasserdampf im Regenerationssabgas enthalten sein, wovon etwa 1 % bereits mit der Frischluft auf den Kontakt kommt, woraus ersichtlich ist, daß der Gehalt der Frischluft etwa so viel beträgt, wie der durch die Verbrennung gebildete Wasserdampfgehalt.

#### 8.) Das Anfahren einer Großanlage

Beim Anfahren der halbtechnischen Versuchsanlage mußte einige Male Stickstoff zur Verdunstung der Luft beim Regenerieren herangezogen werden, um ein Durchgehen der Temperaturen zu verhindern. Vermutlich, weil mehr Koks als vorgesehen auf dem Kontakt abgelagert war oder eine Aufschaukelung der Verbrennungsgeschwindigkeit eintrat. Da bei einer Großanlage Stickstoff in diesen Mengen nicht zur Verfügung steht, wird hier auf das Anfahren besonders eingegangen.

Ist die gesamte Anlage kalt, so muß Sie mit Kontaktfüllung auf Kracktemperatur gebracht werden. Mit der Einspritzung kann erst begonnen werden, wenn im Krackraum der Kontakt eine Temperatur von  $420^{\circ}$  gleichmäßige Temperaturverteilung vorausgesetzt, hat. Dazu ist es erforderlich, daß der Kontakt im Regenerationsraum auch  $420^{\circ}$  hat. Um dies erreichen zu können, darf mit den Kühl- bzw. Spülkreisläufen hinter der Krack- und der Regenerationszone zunächst noch keine Wärme abgeführt werden, wohingegen mit der Schleusung sofort zu beginnen ist. Mit der Wärmeabfuhr hinter der Krackzone wird zweckmäßig mit der Einspritzung begonnen.

Die Einspritzung kann anfangs sofort so hoch gehalten werden, daß die Koksabsiegung  $0,9-1,0$  Gew.% auf den Kontakt bezogen beträgt, da bei dieser Koksmenge der Kontakt, wenn er mit vorgeschriebener Anfangstemperatur zur Regeneration kommt, nicht durchgehen kann (wie aus Diagramm 3 und 4 ersichtlich, denn hierbei nimmt der Kontakt bei seiner Erwärmung von  $t_1$  auf  $t_2$  die gesamte Verbrennungswärme auf), außerdem wird dadurch die Anfahrzeit verkürzt. Die Kontaktkühlung hinter der Regenerationszone ist in dem Maße langsam anzufahren, wie der Kontakt heißer als mit  $420^{\circ}$  aus der Regenerationszone kommt.

Die während der Aufheizung einer Großanlage einzuführende Wärmemenge wird hier überschlägig ermittelt:

Eine 50 000-jährige Anlage habe einen Kontaktinhalt (Gesamtfüllung) nach dem jetzigen Stand von etwa  $200 \text{ m}^3$ ; dieser ist auf  $420^{\circ}$  aufzuheizen. Die erforderliche Wärmemenge beträgt rund 15 000 000 kcal. Wird die gesamte für Mauerwerk, Leitungen, Austauscher und Abstrahlung erforderliche Wärmemenge ebenso groß angenommen, so sind während des Anfahrens bis zum Beginn des Einspritzens der Anlage etwa 30 000 000 kcal einzuführen. Soll das Anfahren etwa drei Tage in Anspruch nehmen, so ergibt dies stündlich etwa 450 000 kcal.

Infolge der Wasserdampfempfindlichkeit des Kontaktes ist es nicht möglich, den einfachsten Weg zu beschreiten und beim Hochfahren die Rauchgase eines zusätzlichen Gasbrenners direkt in die Regenerationsfrischluftleitung hineinzublasen. Andererseits ist ein Frischluftaufheizer, der nur während des Hochfahrens in Betrieb genommen wird, um dann abgeschaltet zu werden, auch nicht erforderlich.

Es genügt, wenn nur ein Brenner für etwa 550-600 000 kcal/h in die Regenerationsabluftleitung hineinbrennt. Die wasserdampfenthaltenden Rauchgase vermischen sich dann mit der anfangs noch kalt aus dem Regenerationsteil kommenden Luft. Die Rauchgase des Brenners sind dann jeweils nur so heiß zu fahren, daß sie nachdem sie sich mit der aus dem Ofen kommenden Luft, die anfangs kalt,

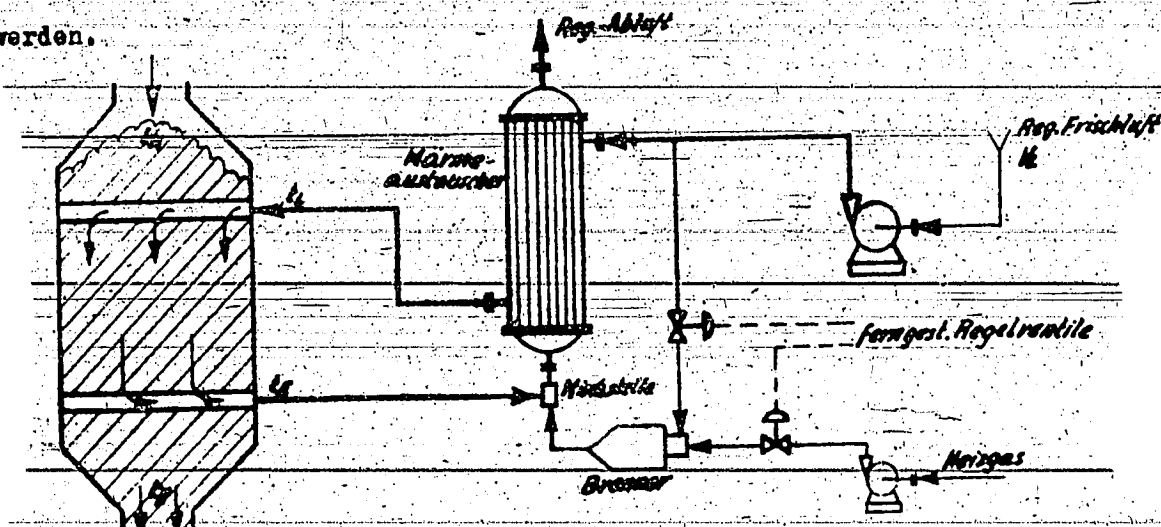
jedoch später immer heißer wird bis sie zuletzt  $420^{\circ}$  hat, vermischt haben, eine Mischungstemperatur von etwa  $550^{\circ}$  bis  $600^{\circ}$  haben, d.h. der Brenner ist gegen Ende des Hochfahrens immer weiter zurückzufahren, bis er, nachdem durch Koksverbrennung genügend Wärme frei wird, ganz abgeschaltet werden kann, so daß der Regenerationsbeginn ohne irgendwelche Temperatursprünge vor sich gehen kann, damit auch hierbei eine Kontaktgefährdung durch eine plötzliche Aufschaukelung der Verbrennungsgeschwindigkeit ausgeschlossen ist. Die Einspritzung ist allmählich möglichst kontinuierlich, keinesfalls sprunghaft, so weit zu steigern, bis sie den normalen Wert erreicht. \*) Eine sprunghafte Steigerung der Einspritzung kann wieder zur Aufschaukelung der Verbrennungsgeschwindigkeit, also zum Durchgehen der Temperatur im Regenerationsraum führen.

Der Einbau des Brenners ist einfach dadurch, daß die erforderliche Verbrennungsluft direkt vom Frischluftgebläse abgezweigt wird. Diese Luft hat den erforderlichen Druck von etwa 0,2-0,3 atü, so daß durch Drosselung

- 1.) eine gute Regelung vor dem Brenner erreicht wird und
- 2.) eine gute Durchmischung der ziemlich heißen Brennerrauchgase mit der Regenerationsabluft leicht erreicht werden kann.

Das Regenerationsluftgebläse ist deshalb nicht größer auszulegen. Ein weiterer Vorteil des Brenners ist noch folgender:

Wurde die Einspritzung infolge Störung kurzzeitig unterbrochen, so besteht die Möglichkeit, daß die Anlage dadurch, daß der Kontakt vorübergehend mit sehr wenig oder ohne Koks in den Regenerationsraum kommt, die Temperatur rasch so weit sinkt, daß der später wieder mit normaler Koksmenge beladene Kontakt sich infolge zu tiefer Temperatur der Frischluft, die dann in den Wärmetauscheren infolge Wegfall der erforderlichen Temperaturdifferenz nicht mehr genügend aufgeheizt wird, nicht entzündet. Wird jetzt vorübergehend der Brenner in Betrieb genommen, so kann ein teilweises Kaltblasen verhindert und die Frischluft auf die erforderliche Temperatur im Wärmetauscher aufgeheizt werden.



\*) Hierfür soll eine genau arbeitende besondere Regleinrichtung vorgesehen werden.

23651

Der Brenner ist nicht groß, er hat bei den gemachten Annahmen nur die halbe Wärmemenge des Regenerationsgasvorheizers der  $1 \text{ m}^3$ -Versuchsanlage (Nr. 56) nach dem Festbettverfahren zu leisten. Eine Heizfläche im Brennraum ist nicht erforderlich, da diese in die vorhandene Wärmeaustauscherfläche für die Aufheizung der Frischluft an der Abluft verlegt wird. Die Brennkammergröße beträgt je nach dem Gas  $1-2 \text{ m}^3$ .

9.) Kurzer Vergleich mit dem Festbettverfahren in Bezug auf Wärmeaustauscherflächen für die Regenerationsluft.

Es wird berechnet bei gleichen Bedingungen für beide Verfahren die Größe und der Preis der Wärmeaustauscherflächen für die Regenerationsluft.

Gemeinsame Bedingungen: Einspritzung  $0,9 \text{ m}^3$  Zistersendorfer Mittelöl/ $\text{m}^3$  Kont. und Std. Bei einer Krackperiodenlänge von 20 Min., d.h. dreifachem Kontaktwechsel beim Schleuserverfahren/h. Dies ergibt eine Koksalblagerung von 2,2 Gew.% auf dem Kontakt bezogen. Diese Bedingungen werden außerdem bei der Projektierung einer Großanlage zugrunde gelegt.

I. Schleuseverfahren:

Regenerationsbedingungen:  $t_g = 200^\circ\text{C}$ ,  $t_b = 450^\circ\text{C}$ ,  $t_s = 575^\circ\text{C}$

$$v_L = \frac{G_{\text{Kont}} / \text{Ko} \cdot H/100 - c_{\text{Kont}} (t_s - t_K)}{c_L (t_b - t_L)} \quad (\text{s. Seite } 15)$$

$$= \frac{720 / 2,2 \cdot 80 - 0,25 (575 - 200)}{0,32 (575 - 450)} = 1405 \text{ m}^3/\text{m}^3 \text{ Kont.}$$

Diese Fahrweise setzt voraus, daß bei einer angenommenen Erwärmung des Kontaktes und der Luft auf  $435^\circ\text{C}$  27,8 % der gesamten Verbrennungswärme freigesetzt werden müssen, denn es ist:

$$Q_{\text{Kont}} = 720 \cdot 0,25 (435 - 200) = 42400 \text{ kcal/m}^3 \text{ Kont.}$$

$$Q_L = 1405 \cdot 0,32 (450 - 435) = 7100 \text{ kcal/m}^3 \text{ Kont.}$$

Die Wärmetötung der bis zu  $435^\circ$  verbranlichen Ablagerungen muß betragen:

$$Q_{\text{Kont}} - Q_L = 42400 - 7100 = 35300 \text{ kcal/m}^3 \text{ Kont.}$$

Prozentualer Anteil der Wärmetötung des leichtverbrennlichen Kokses an der Gesamtwärmetötung:

$$Q_{\text{Koks}} = G_{\text{Kont}} \cdot H/100 = 720 \cdot 2,2 \cdot 8000/100 = 127000 \text{ kcal/m}^3 \text{ Kont.}$$

$$\text{Leichtverbrennlicher Anteil: } \frac{35300 \cdot 100}{127000} = 27,2 \%$$

Der Anteil der Wasserstoffverbrennungswärme beträgt bei Berücksichtigung der CO-Verbrennung (s. Seite 11) 25,2 %. Man ersieht, daß der  $\text{H}_2$ -Anteil der Ablagerungen, der mit großer Wahrscheinlichkeit zuerst verbrennt, allein schon fast so viel Wärme abgibt, die erforderlich ist, um mit dem Kontakt die  $435^\circ$ -Grenze zu erreichen. Diese Temperatur ist nötig nach Feststellungen in einer kleinen Apparatur, um auch den schwerverbrennlichen Koks zu verbrennen.

Die Austauscherfläche ist:

$$F_A = \frac{V_L \cdot c_L \cdot t_L}{K(t_K - t_L)} \quad (\text{s. Seite 16})$$

$$= \frac{1485 \cdot 0,32 \cdot 450}{15 \cdot (575 - 450)} = 114 \text{ m}^2/\text{m}^3 \text{ Kont. und Std.}$$

Die Kühlflächen für die Abkühlung der gesamten Wärme, die der Kontakt aufnimmt, sind unbedeutend; zwischen Regenerations- und Krackzone ist abzuführen:

$$Q_{\text{Kont.I}} = G_{\text{Kont}} \cdot c_{\text{Kont}} \cdot (t_E - t_{\text{Kr}}) \quad t_{\text{Kr}} = \text{Kracktemperatur}$$

Unterhalb der Krackzone ist abzuführen:

$$Q_{\text{Kont.II}} = G_{\text{Kont}} \cdot c_{\text{Kont}} \cdot (t_{\text{Kr}} - t_X)$$

Wird hier ausnahmsweise angenommen, daß in beiden Fällen das Kühl- bzw. Spülgas mit 100° in den Ofen eintritt und ihn mit 420° verläßt (diese Annahme ist bei der vergleichenden Rechnung berechtigt, obwohl in der unteren Spülzone das Spülgas, zwangs Kondensation der ausgespülten Öreste tiefer gekühlt werden muß - die entsprechende, jedoch infolge stoßweiser Spülung beim Festbettverfahren erheblich größere Kühlfläche wird bei der Festbettvergleichsrechnung überhaupt nicht berücksichtigt), so ergibt sich bei einer Erwärmung des Kühlwassers von 25 auf 40°C die mittlere Temperaturdifferenz des Kühlers zu:

$$\Delta t_{\text{Kühl}} = (380 - 75)/\ln \frac{380 - 180}{75 - 40} = 420 - 100$$

Bei Berechnung der abzuführenden Wärmemenge ist ansich noch zu berücksichtigen, daß der Krackprozeß eine negative Wärmetönung hat. Sie ist nicht genau bekannt und wird hier mit 25 kcal/kg Einspritzprodukt angenommen. Auf 1 m² Kont. werden  $0,9/3 = 0,3 \text{ m}^3$  Öl - 258 kg Öl eingespritzt. Dies gibt auf den Kontakt umgerechnet  $258 \cdot 25 = 6450 \text{ kcal/m}^2 \text{ Kont.}$  Wird das Öl zwecks schonender Aufheizung mit 420° eingespritzt und dafür die gesamte Reaktionswärme nur aus der Kontaktwärme gedeckt, so müßte der Kontakt sich um die Temperaturdifferenz  $\Delta t$  abkühlen:  $\Delta t = 6450/720 \cdot 0,25 = 36^\circ\text{C}$ . Diese Wärmemenge soll jedoch hier nicht mit abgesetzt werden.

Die Kühlfläche für beide Kühlzonen ergibt sich dann zu:

$$F_{\text{Kühl}} = \frac{Q_{\text{Kont.I}} + Q_{\text{Kont.II}}}{K \cdot \Delta t_{\text{Kühl}}}$$

$$Q_{\text{Kont.I}} = Q_{\text{Kont.II}} = G_{\text{Kont}} \cdot c_{\text{Kont}} \cdot (t_E - t_X) \\ = 720 \cdot 0,25 \cdot (575 - 200) = 67500 \text{ kcal/m}^3 \text{ Kont.}$$

$$F_{\text{Kühl}} = 67500/25 \cdot 188 = 14,4 \text{ m}^2/\text{m}^3 \text{ Kont. und Std.}$$

$$K = 25 \text{ kcal/m}^2 \text{ Std. und } ^\circ\text{C für Luft/Wasser.}$$

Die Austauschfläche für 1 m³ Kont. beim Schleusverfahren wird dann:

$$F_{\text{A Schl.}} = F_A + F_{\text{Kühl}} = 114 + 14,4 = 128,4 \text{ m}^2/\text{m}^3 \text{ Kont. und Std.}$$

VI. Festbettverfahren.

Beim Festbettverfahren ist die gesamte Verbrennungswärme mit dem Wälzgas bzw. der Luft abzuführen. Es konnte aus Versuchen ermittelt werden, daß die mittlere Temperaturdifferenz zwischen den ein- und austretenden Regenerationsgasen, über den Verlauf der gesamten Regeneration berechnet (einschl. Einfahren des Kontaktbettes auf Kratztemperatur), nur etwa  $\Delta t = 60^\circ\text{C}$  beträgt.

Es wird der Einfachheit halber angenommen, daß mit Luft im geraden Durchgang regeneriert wird, obwohl dies leicht zu zu hohen Temperaturspitzen im Kontakt führt. Bei Regeneration im Kreislauf werden außerdem die Verhältnisse für den Festbettöfen noch ungünstiger, da dann das gesamte Wälzgas auf etwa  $30-35^\circ$  abgekühlt werden muß, zwecks Wasserabscheidung und außerdem ein Spitzenvorheizer für das Wälzgas und für jeden Ofen ein getrennter Kreislauf mit Getränke infolge der zeitlich verschiedenen Sauerstoffgehalte im Wälzgas erforderlich ist.

Der Luftbedarf beträgt demnach:

$$V_L = Q_{L \text{ Koks}} / c_L \cdot \Delta t = 127 \ 000 / 0,32 \cdot 60 = 6600 \text{ m}^3/\text{m}^3 \text{ Kont.}$$

Weiterhin wird für den Festbettöfen die vereinfachende Annahme gemacht, daß sich die Regenerationsluft mehrerer gleichzeitig in Regeneration befindlicher Öfen gerade so mischt, daß die Mischtemperatur auch jeweils um  $t_m = 60^\circ$  höher ist. Man erhält dann für die Wärmeaustauscher ebenfalls als mittlere Temperaturdifferenz, da auf beiden Seiten der Austauscherflächen die gleiche Luftmenge ist:

$$\Delta t = t_m = 60^\circ$$

In Wirklichkeit ist dies nicht der Fall, sondern ungünstiger, d.h.  $\Delta t < 60^\circ$ . Im Mittel ist die Regenerationsluft hier auf  $t_m = 420^\circ$  aufzuheizen. Die ausgetauschte Wärmenenge ist:

$$Q_A = V_L \cdot c_L \cdot \Delta t = 6600 \cdot 0,32 \cdot (420 - 0) = 890 \ 000 \text{ kcal/m}^3 \text{ Kont.}$$

Die Austauschfläche ist:

$$F_A = Q_A / k \cdot \Delta t = 890 \ 000 / 15 \cdot 60 = 990 \text{ m}^2/\text{m}^3 \text{ Kont. und Stahl}$$

für eine 100 000 jähr. Betriebszeit ist erforderlich:

$$100 \ 000 \text{ jahre} = 116 \ 000 \text{ m}^3 \text{ Öl/Jahr} = 14,5 \text{ m}^3 \text{ Öl/h Einspritzung.}$$

Dafür zu erstellender Kratzraum:  $14,5 / 0,9 = 16,1 \text{ m}^3$ . Da bei 20 Min. Periodenlänge jeweils die dreifache Kontaktmenge des Kratzraumes zu regenerieren ist, erhält man für beide Anlagen  $3 \times 16 = 48 \text{ m}^3 \text{ Kont./h}$  (in Regeneration befindlich).

Vergleich: I. Schlaufenofen:  $F_A \text{ schl.} = 128,4 \cdot 48 = 6150 \text{ m}^2$

$1 \text{ m}^2$  Austauschfläche soll um 40,- kosten.

Gesamtpreis:  $6150 \cdot 40 = 2460000$ ,-

$$\text{II. Festbettverfahren: } F_A \text{ Fest} = 48 \cdot 990 = 47500 \text{ m}^2$$

Gesamtpreis:  $47500 \cdot 40 = 1900000$ ,-

Die Ersparnis beim Schlaufenofen (nur in Bezug auf die Wärmeaustauscher berechnet) beträgt somit:  $2460000 - 1900000 = 560000$ ,-

IV. Schlussbetrachtung.

Es wird die Entwicklung der Regenerationsweise am ersten Versuchsschloss offen für katalytisches Kracken in ihren einzelnen Phasen beschrieben und auf die Betriebserfahrungen eingegangen. Ferner werden für die günstigste Regenerationsweise, die Regeneration mit Luft im geraden Durchgang, die Wärmeberechnungen zunächst für vertikale Koksabstiegungen und dann für den einer Großenlage entsprechenden Fall mit einer bestimmten Koksmenge pro Kontakt angegeben.

Sie Koksmenge wird nicht, wie sonst üblich, auf das Einspritzprodukt bezogen, sondern durchweg auf das Kontaktgewicht.

Die erforderliche Regenerationsluftmenge sowie die dafür erforderliche Austauscherfläche wird immer auf  $1 \text{ m}^3$  zu regenerierendem Kontakt bezogen.

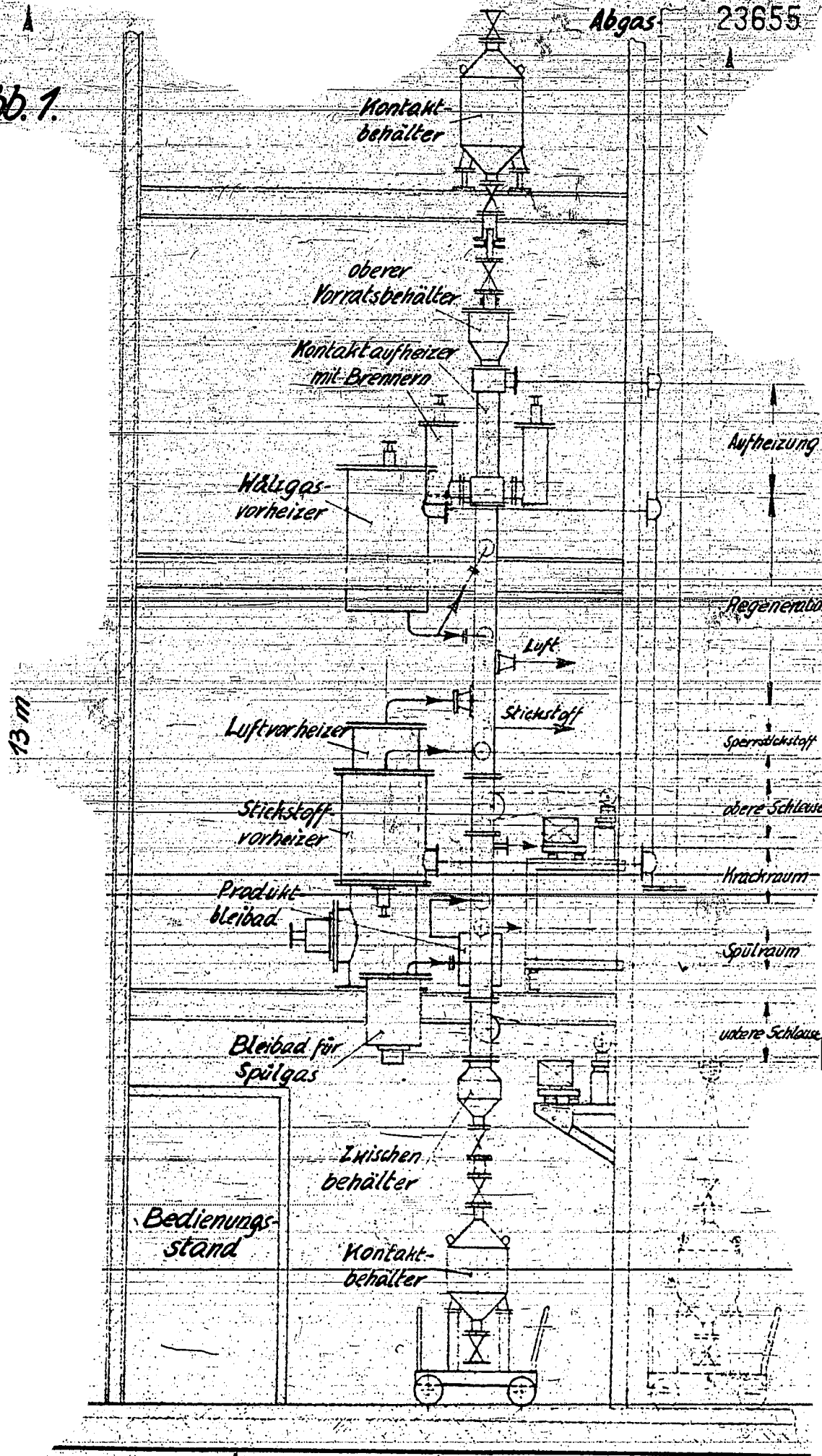
Um die vielen Abhängigkeiten anschaulich möglichst zugleich darstellen zu können, wird oft die dreidimensionale Darstellung gewählt. Es soll erleichtert werden, in der zu erstellenden technischen 650 ltr.-Krackraum-Versuchsanlage aus der Vielzahl der Abhängigkeiten den optimalen Betriebszustand, der in der vorhandenen halbtechnischen Anlage nicht ermittelt werden kann, aufzufinden, um bei der Errichtung einer Großanlage mit dem Material an Rauvelchen, Eisenkontingent und Energie auszukommen.

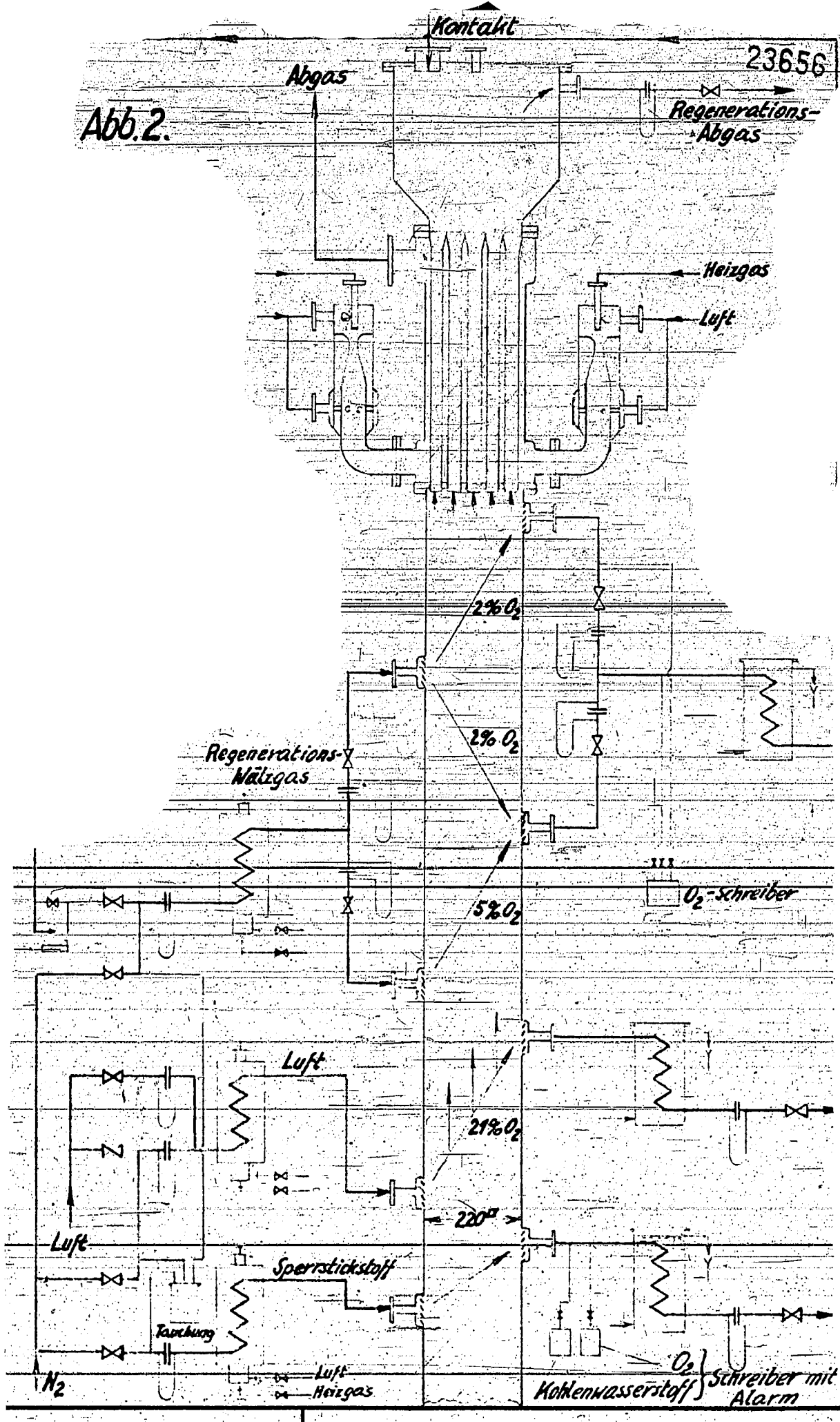
Technik wird der Zusammensetzung im Regenerationsgas und eines Abhängigkeit von den einzelnen Faktoren angegeben. Schließlich wird noch in einer einfachen Übertragungsrechnung die grundsätzliche Überlegenheit einer kontinuierlichen Kontaktwiederbelastung mit Luft, die im Gleichstrom mit dem Kontakt gefahren wird und beim Beginn der Wiederbelastung etwa  $200^\circ$  heißer als das Kontakt ist, nach dem jetzigen Stand der Erkenntnisse beim Vergleich mit einer gleichen Anlage, jedoch mit gestaurordnetem Kontakt, gezeigt.

66

Abgas 23655

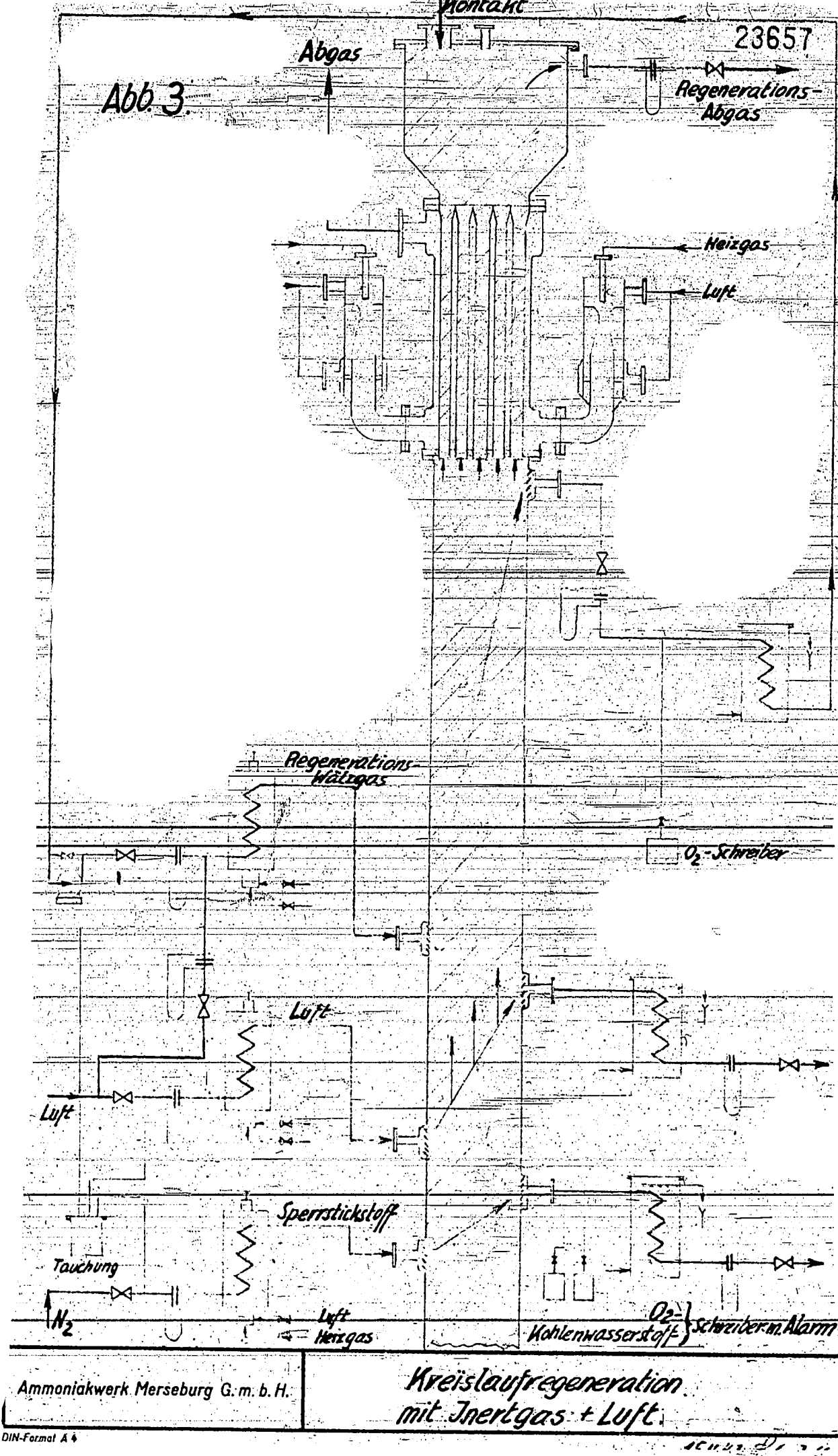
Abb. 1.





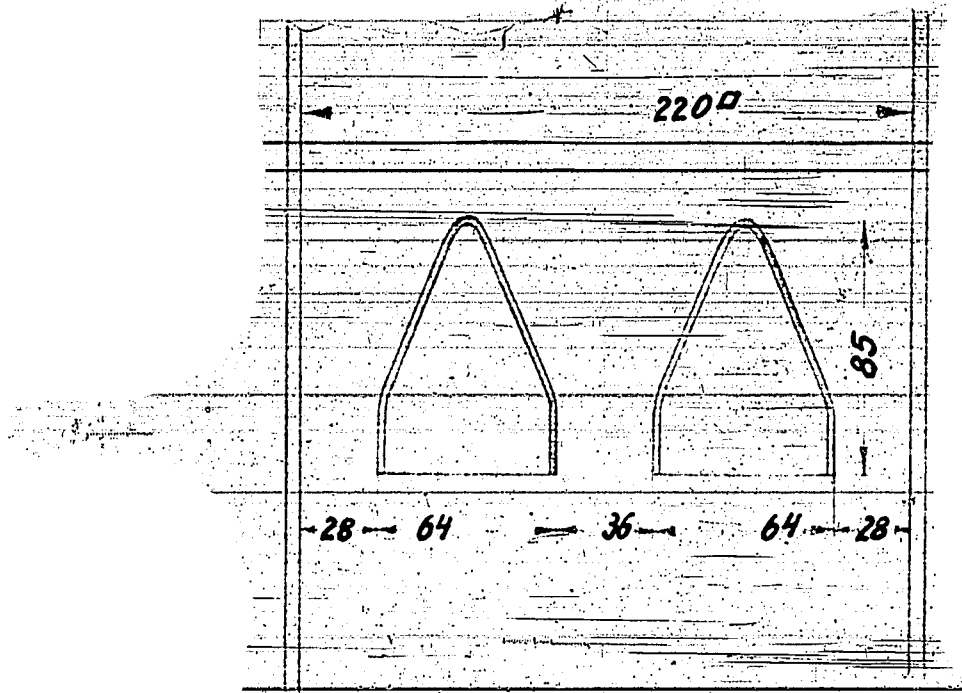
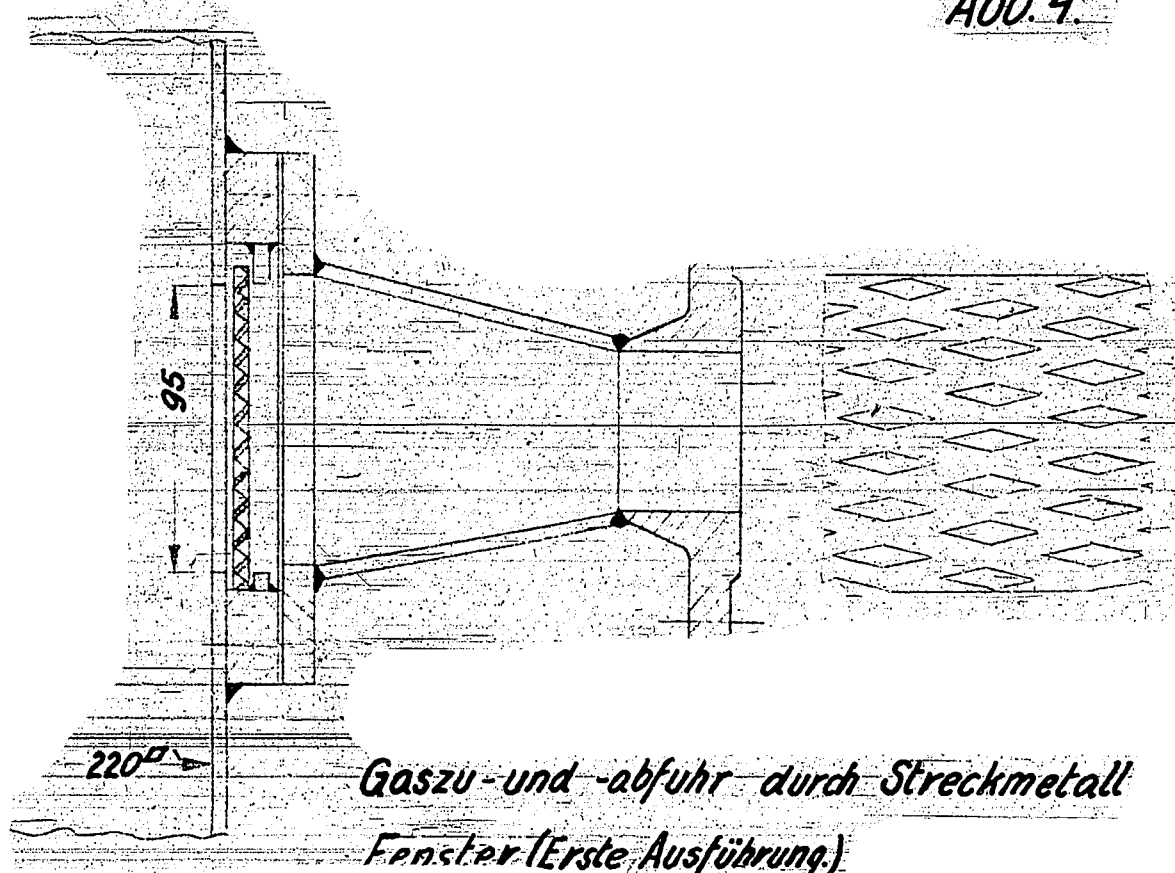
Ammoniakwerk Merseburg G.m.b.H.

Kontinuierliche Regeneration im Kreislauf  
mit Teilströmen u. Sauerstoffabstufung.



23658

Abb. 4.



Gaszu- und -abfuhr durch tunnelartige Kanäle.  
(Neue Ausführung.)

Ammoniakwerk Merseburg G.m.b.H.

GASZU- UND -ABFUHRUNGEN.

Abb. 5.

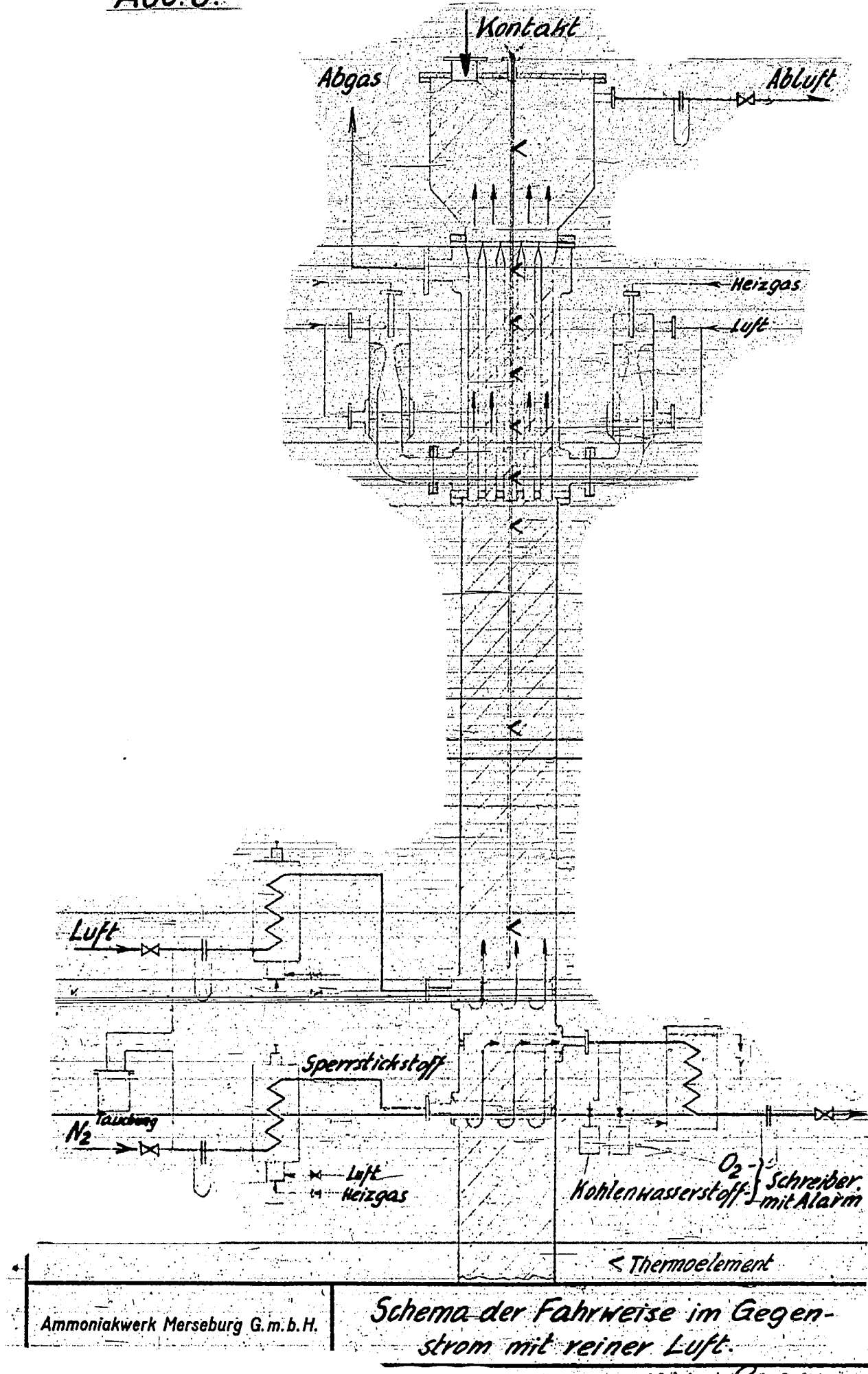
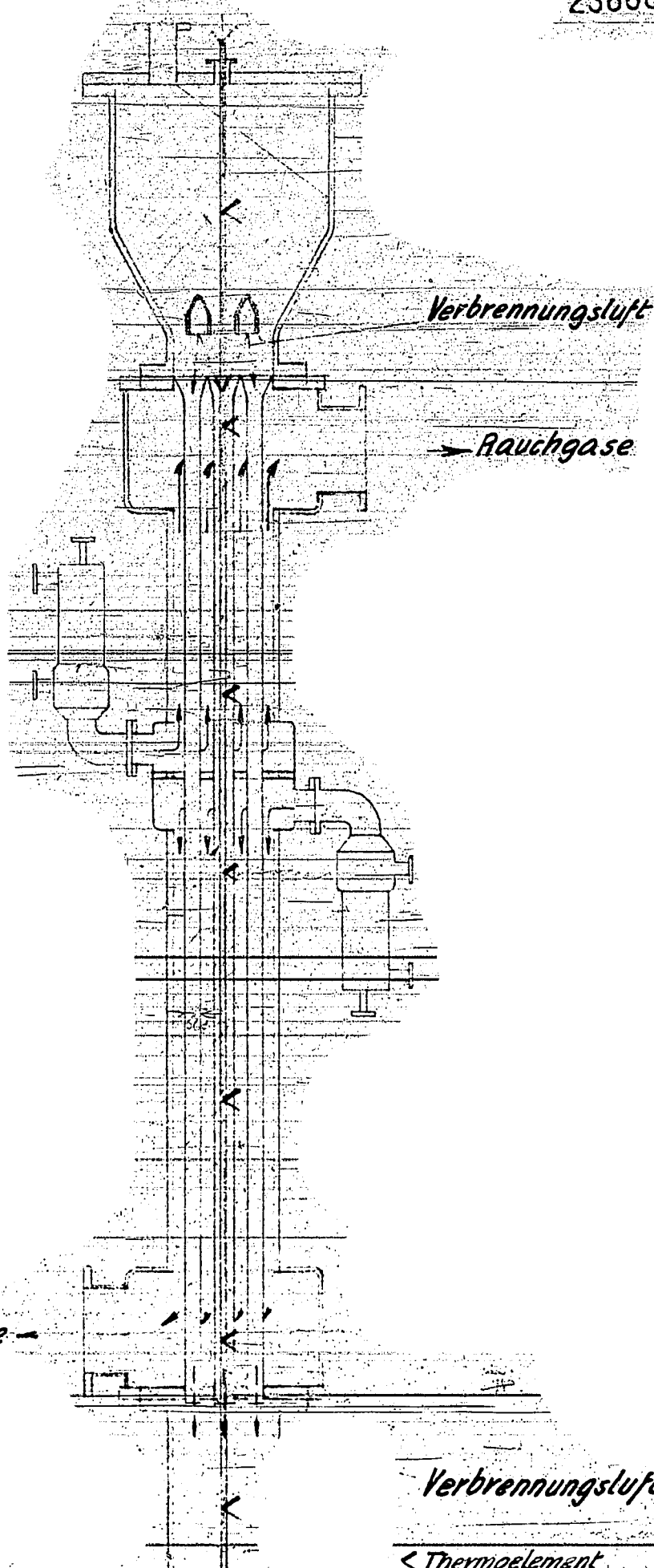


Abb. 6.



Rauchgase -

Verbrennungsluft

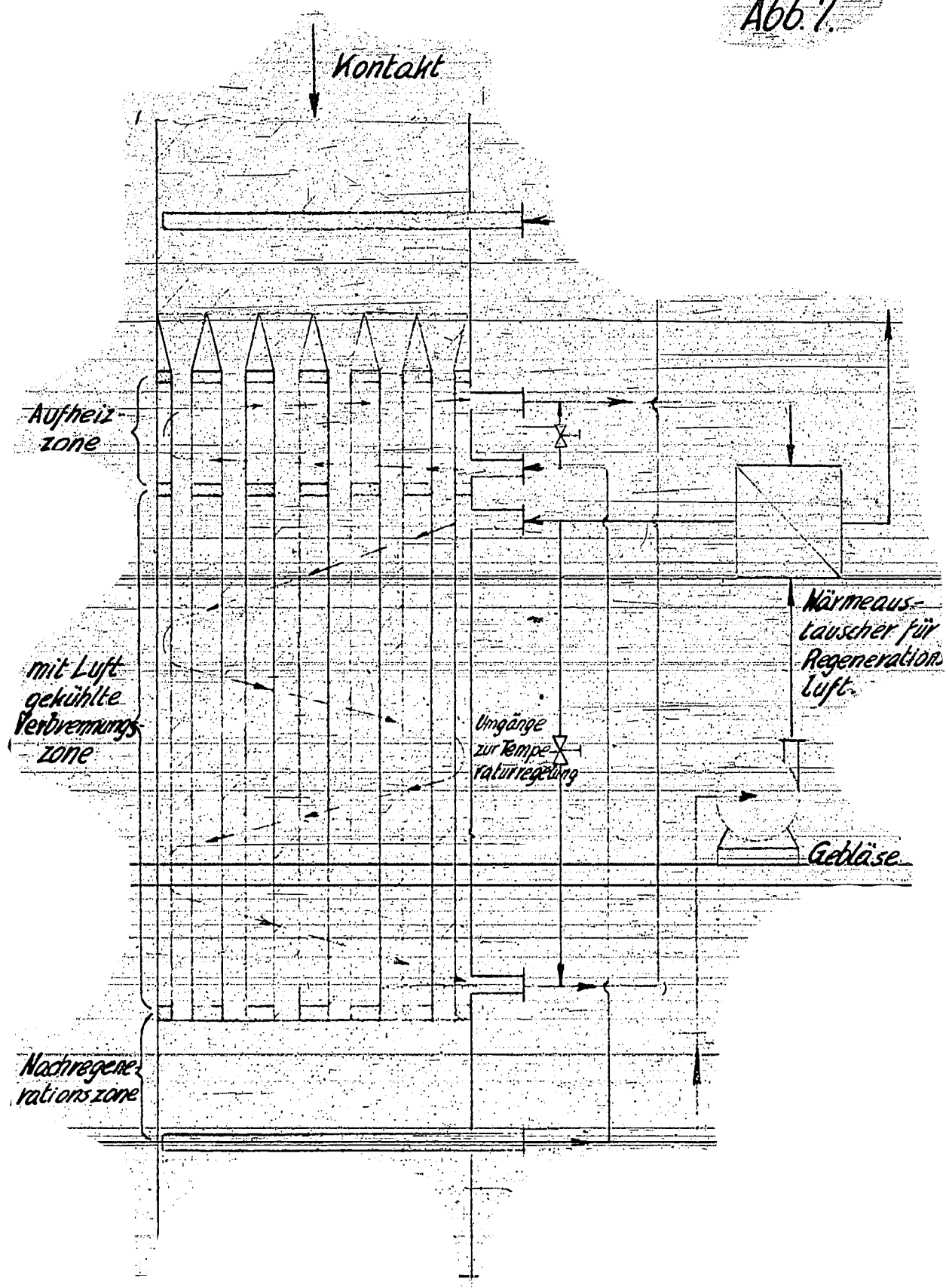
Rauchgase

Verbrennungsluft

< Thermoelement

Ammoniakwerk Merseburg, G.m.b.H.

Umbau des Röhrenaggregates.

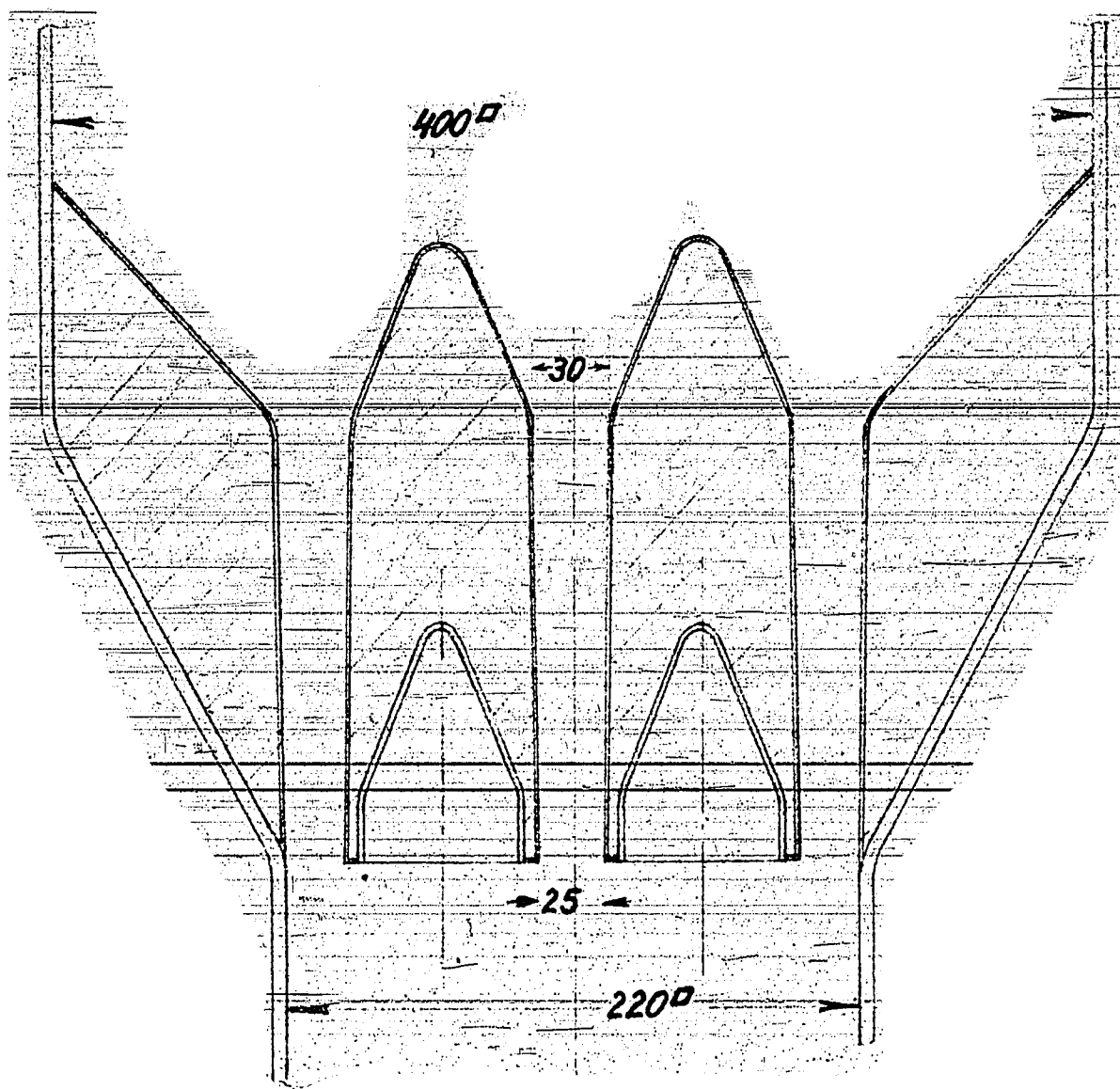


Ammoniakwerk Merseburg G. m. b. H.

DIN-Format A 4.

Regeneration mit reiner Luft im Gleichstrom u. Wärmeabfuhr in d. Verbrennungszone

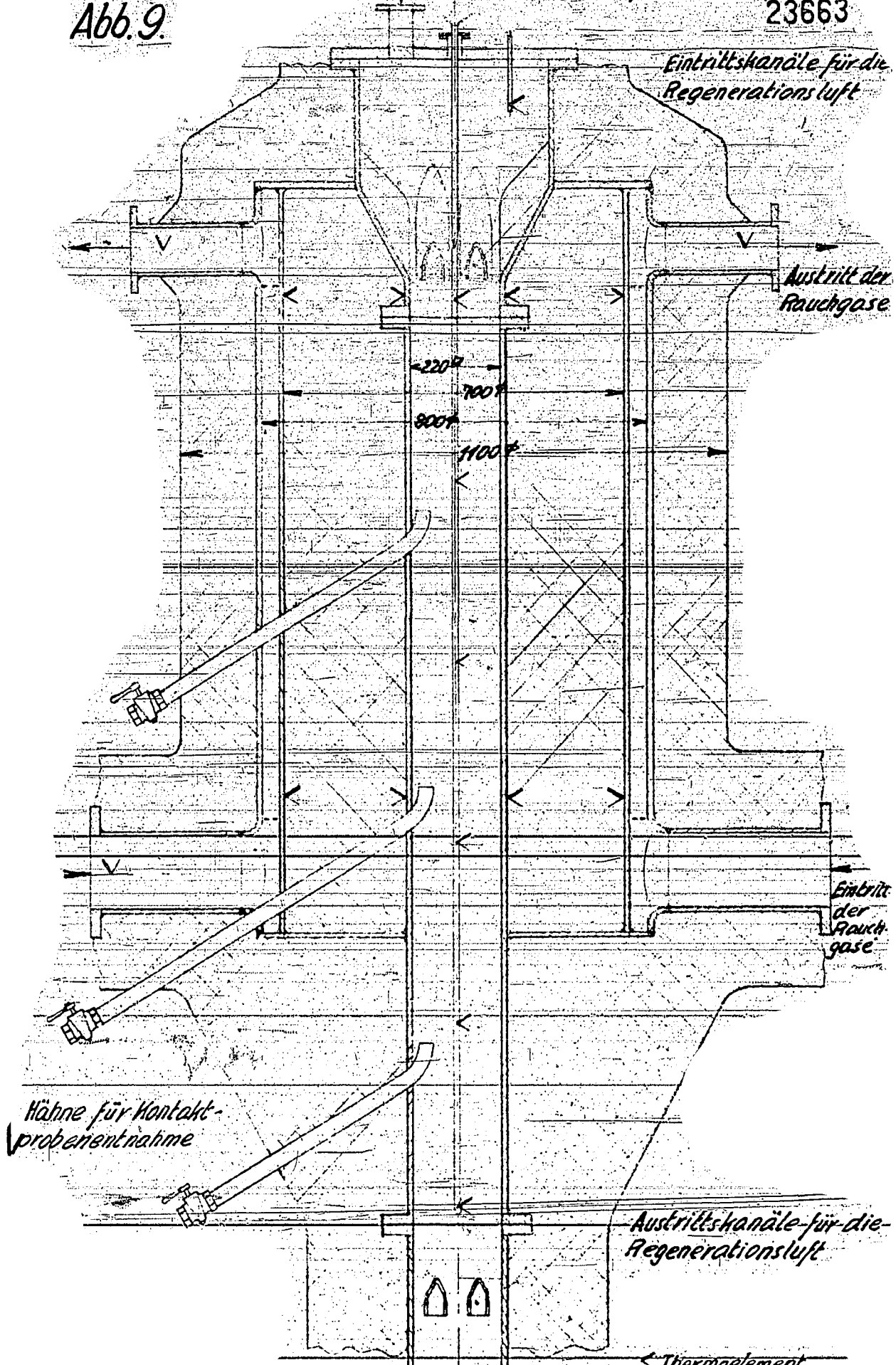
Abb. 8



Kontakt aus Transportbehälter

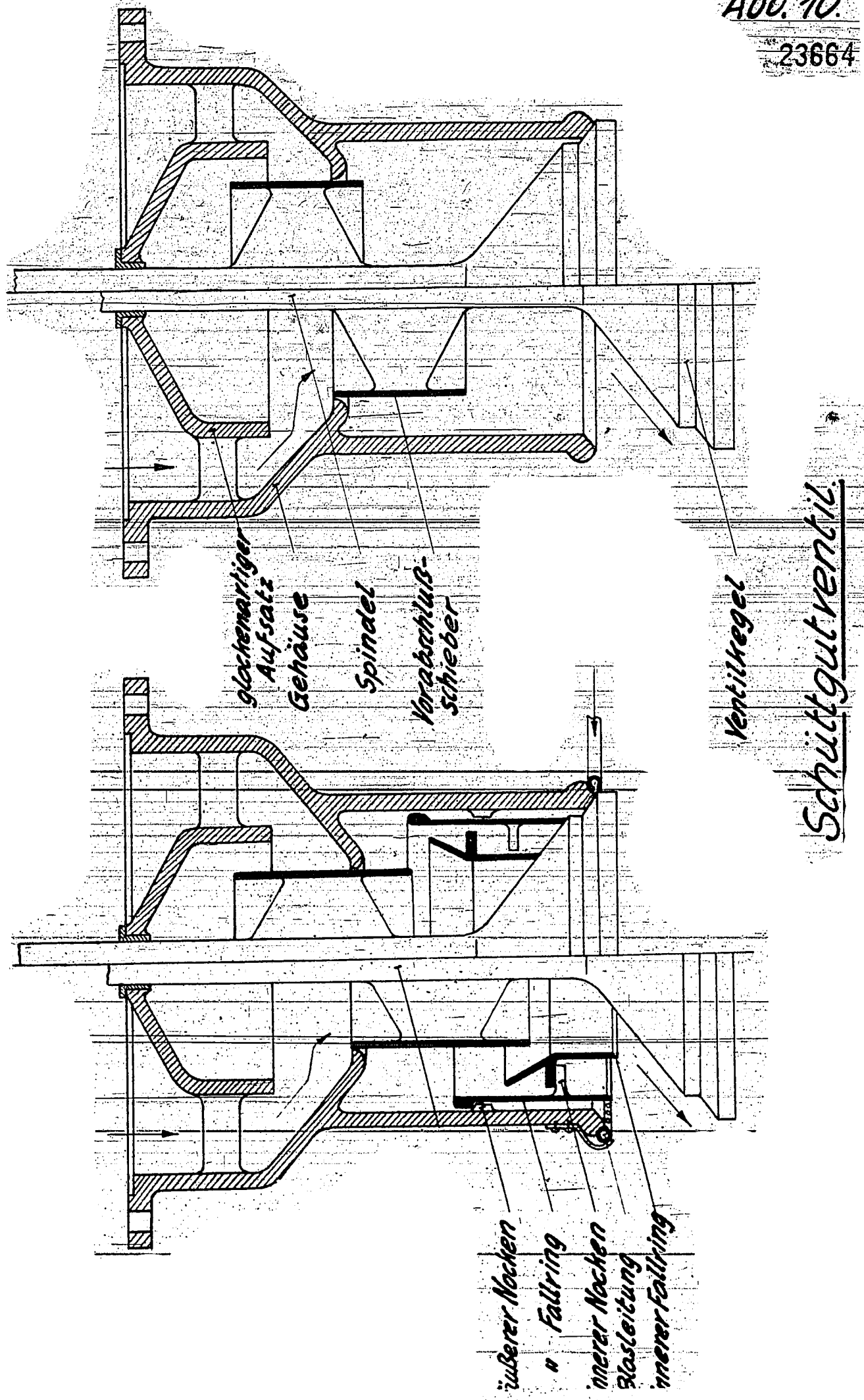
23663

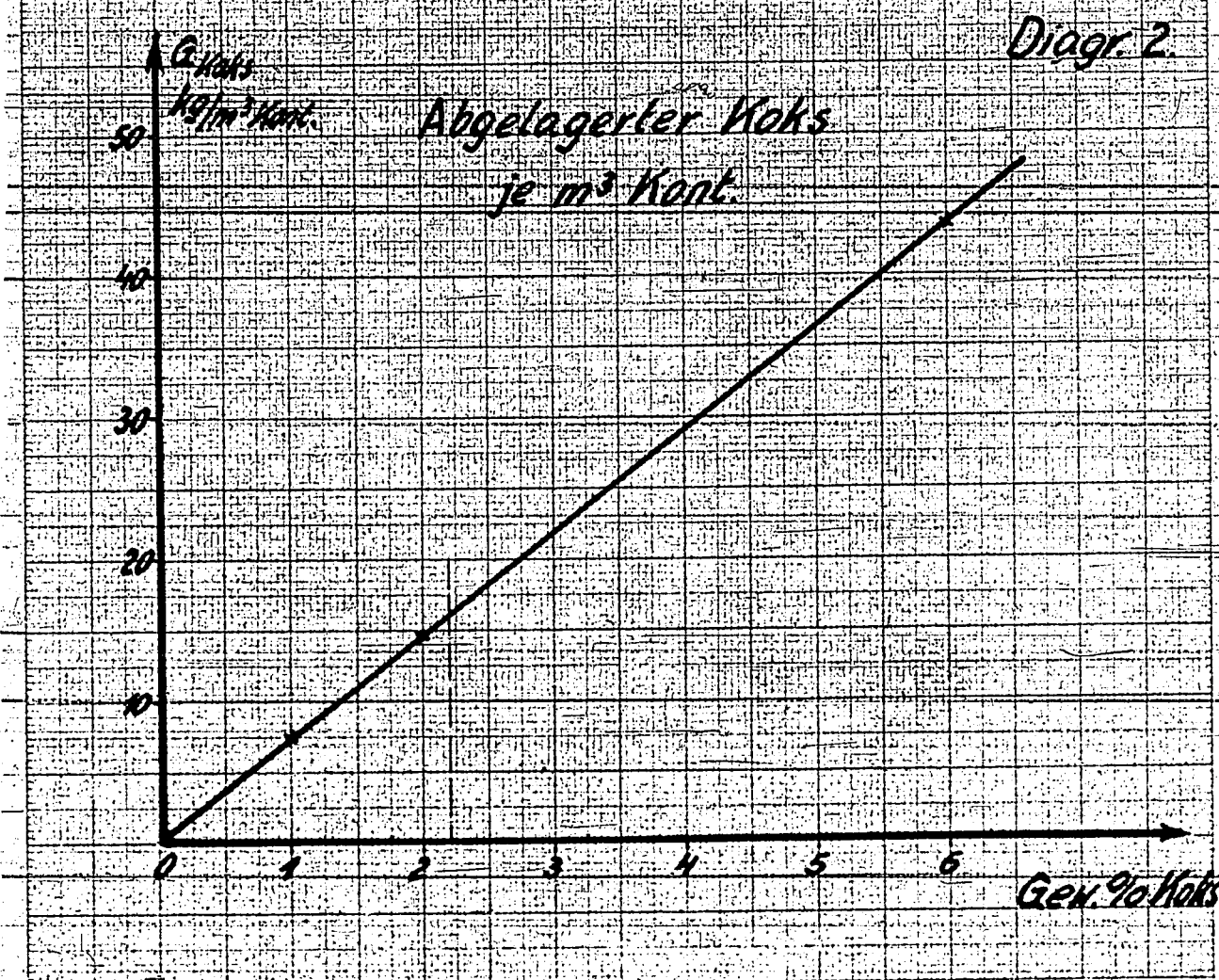
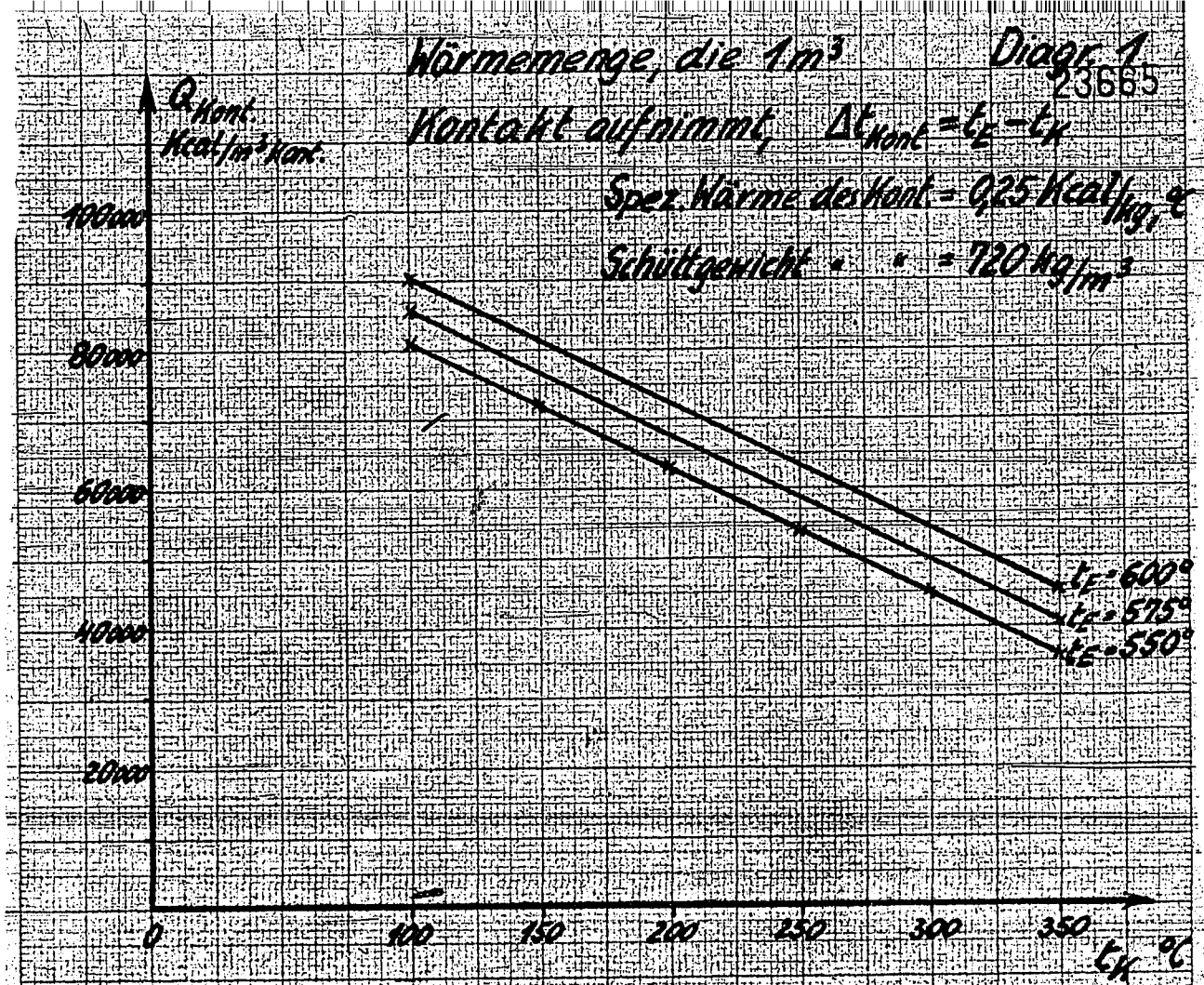
Abb. 9.



Ammoniakwerk Merseburg G.m.b.H.

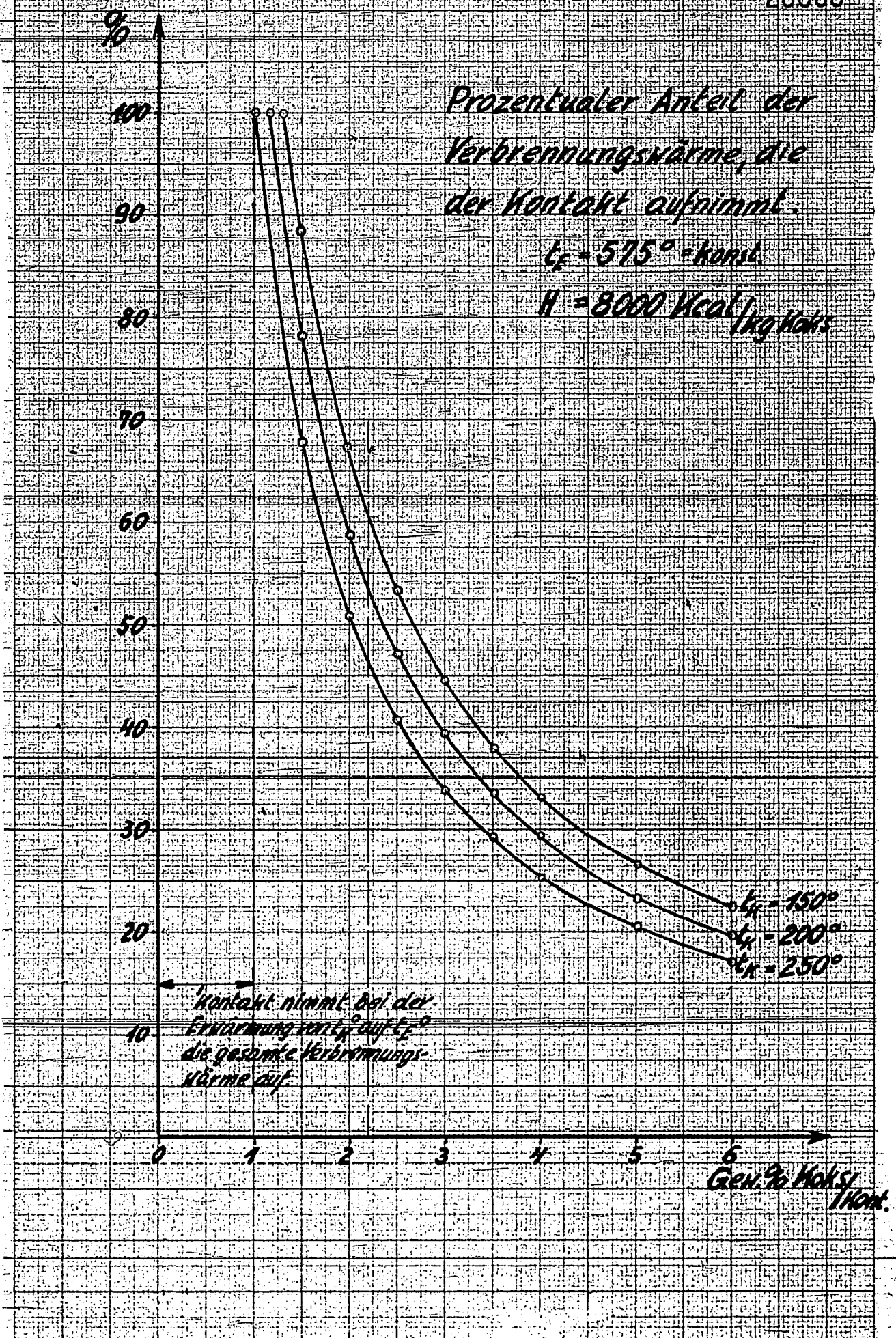
Regeneration mit Luft, ohne Kühlrohre  
mit Schutzheizung u. Kontaktprobenentnahme





X

01/329 113



Diagr 4

23687

V.

Wm 2000  
Wm Kohle

### Regenerationsluftmenge

abhängig von der Kohlesbeladung des Kondensators.

Wm 2000

$t_E = 550^\circ$

Wm 2000

$t_K = 200^\circ$

$t_E = 575^\circ$

Wm 2000

$t_L = 450^\circ$

$t_E = 550^\circ$

Wm 2000

$t_K = 250^\circ$

$t_E = 600^\circ$

Wm 2000

$t_L = 400^\circ$

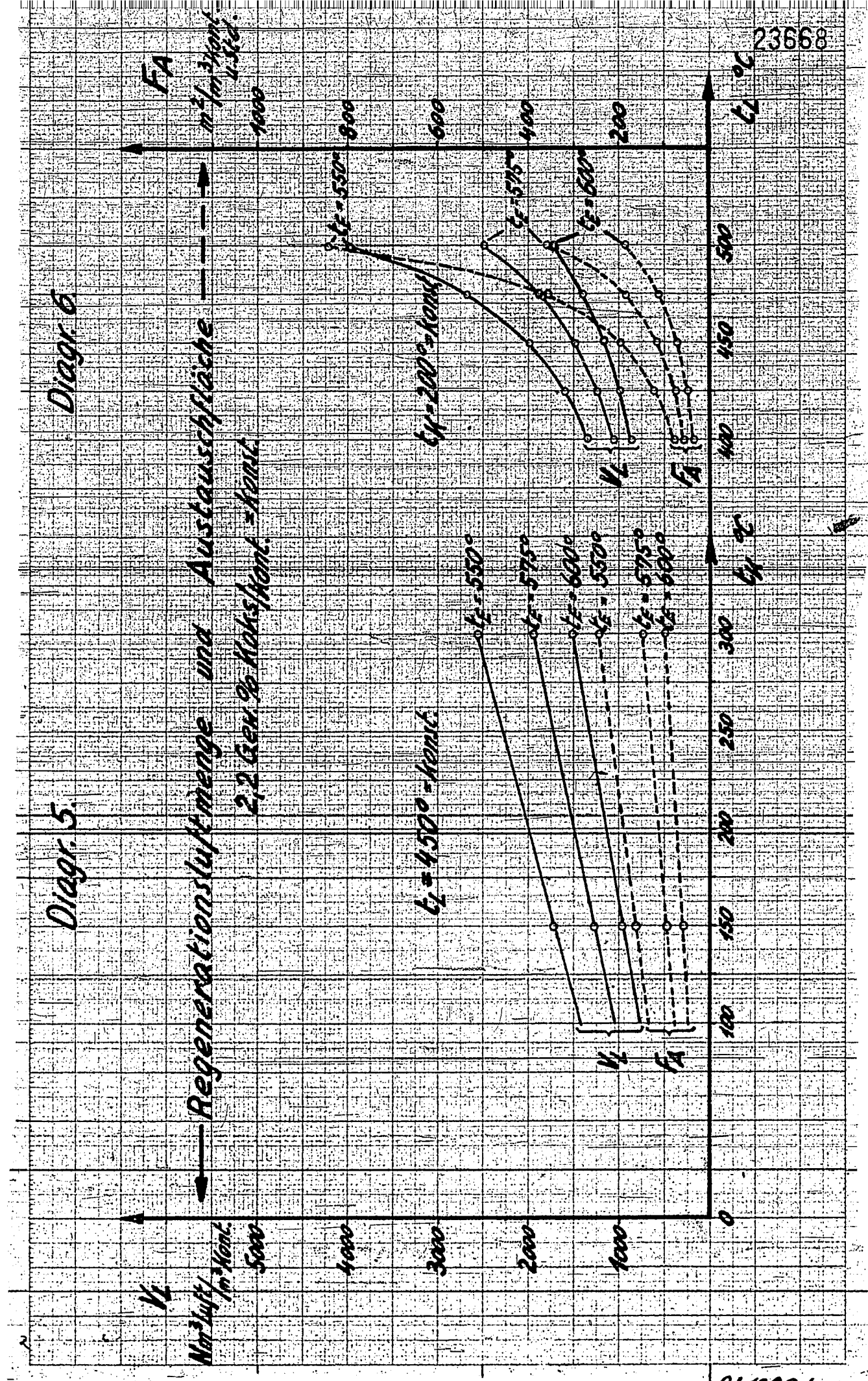
$t_E = 575^\circ$

Wm 2000

Wm 2000

$t_E = 600^\circ$

Wm 2000



01/1329/16

Diagram 7

23669

V  
Nm<sup>3</sup> Luft/  
m<sup>3</sup>Kont.

4000

## Regenerationsluftmengen

1.7 Gew % Kohlenanteil = konst.

3000

2000

1000

120

150

175

200

225

250

275

300

LK

06

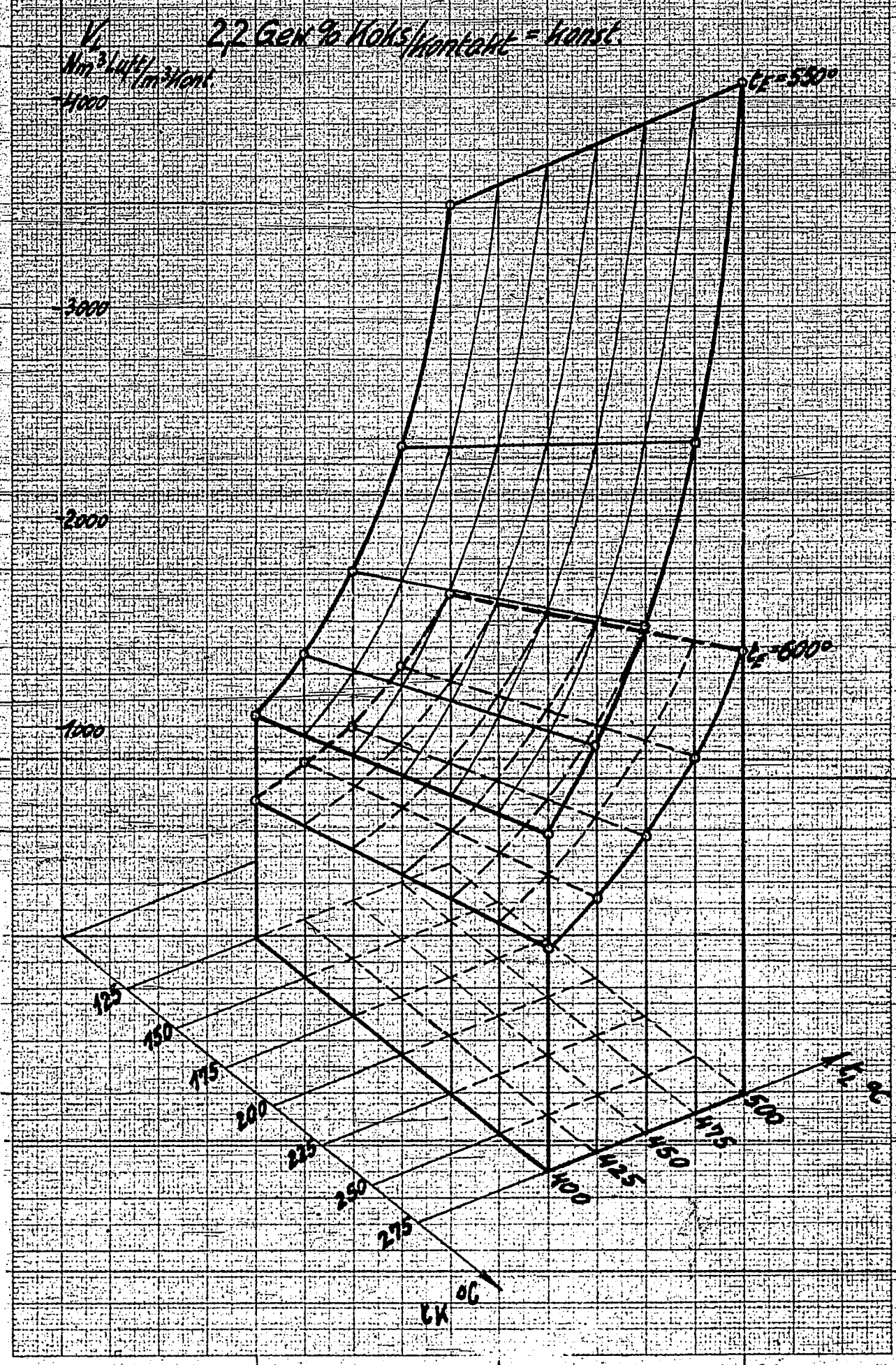
$T_E = 550^\circ$

$T_E = 600^\circ$

0/1329/17

Diagr. 8  
23670

Regenerationsluftmengen



01329 118

2,7 Gen % Kohlentakt = konst

Diagr 9

V  
Max. Luft im Motor

73871

5000

t<sub>f</sub> = 550°

Regenerations-  
Luftmengen

-4000

-3000

-2000

-1000

125

150

175

200

225

250

tx a 215

= 80

-150 -125 -100

50 15 5

15 5

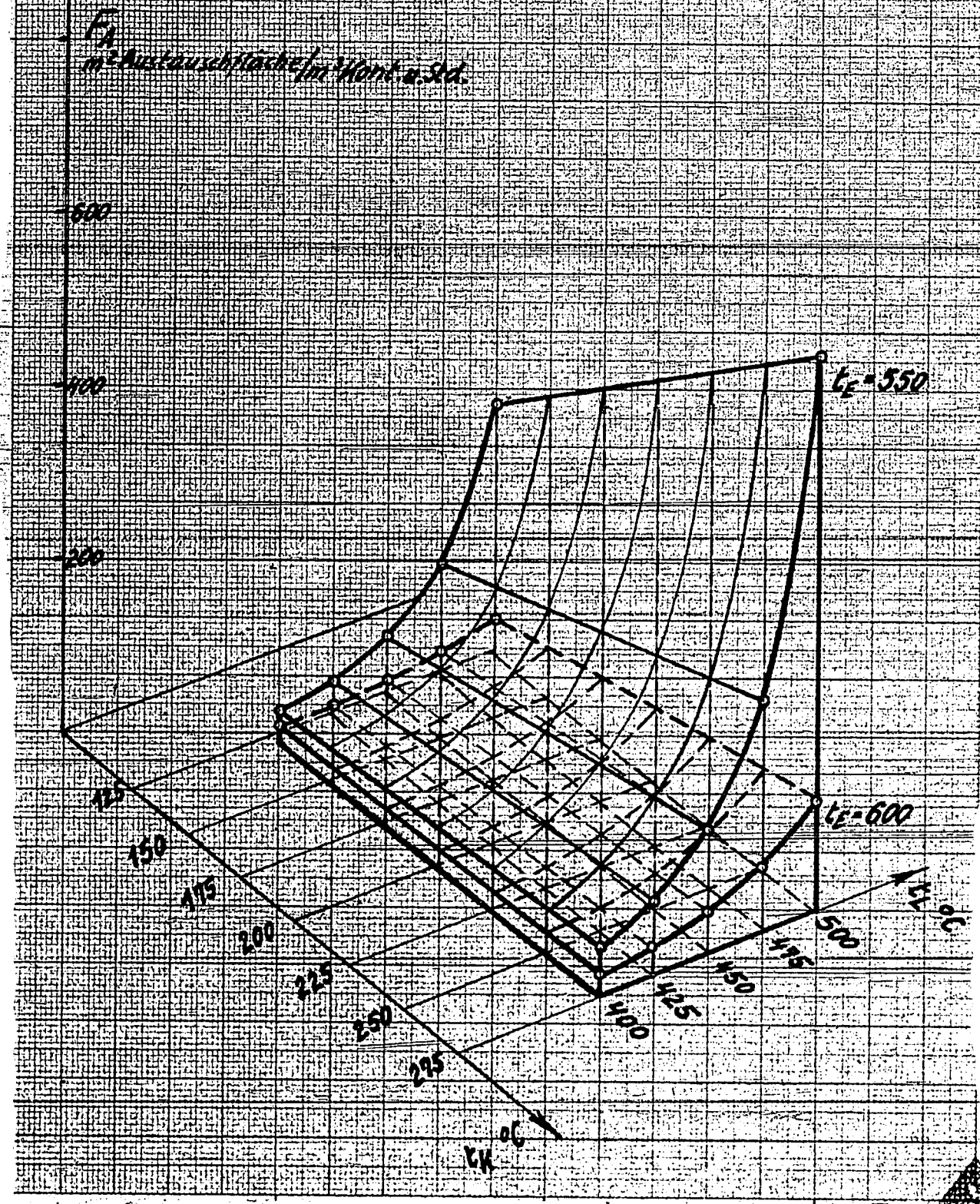
0 1329 / 19

Diagr. 10.

23672

### Austauschflächen

1.7 Gen. 90° Winkelkontakt - konst.



Diagram

# Austauschflächen

23673

FA  
m<sup>2</sup> Austauschfläche / m<sup>2</sup> Werte Basis.

1000

2,2 GEW 96 Kohlenwärme - Konst.

800

95°-550°

600

400

200

95°-600°

125

150

175

200

225

250

275

300

CK °C

100

125

150

175

200

225

250

275

300

01329/21

Austauschflächen.

Diagr. 12

73874

2.7 Gen. Ge Kammernicht "west"

$t_2 = 550^\circ$

F1  
an Austauschfläche im Westen

1000

800

600

400

200

12.5

150

115

100

82.5

75.0

71.5

67.5

60.0

56.25

52.5

48.75

45.0

41.25

37.5

33.75

30.0

$t_2 = 500^\circ$

Diagramm 12

73874

$t_2 = 550^\circ$

01/132913

Droger 12

Regenerationsendtemperaturen

2367

2.2 Gem. 9% Koks / Kontakt = 1600 h

$t_g$  °C

900

600

500

400

300

200

100

125

150

175

200

225

250

275

215

$t_k$  °C

$V_1 = 1000 \text{ m}^3/\text{h}$   
gr. Stahl

$V_2 = 1500 \text{ m}^3/\text{h}$   
Stahl

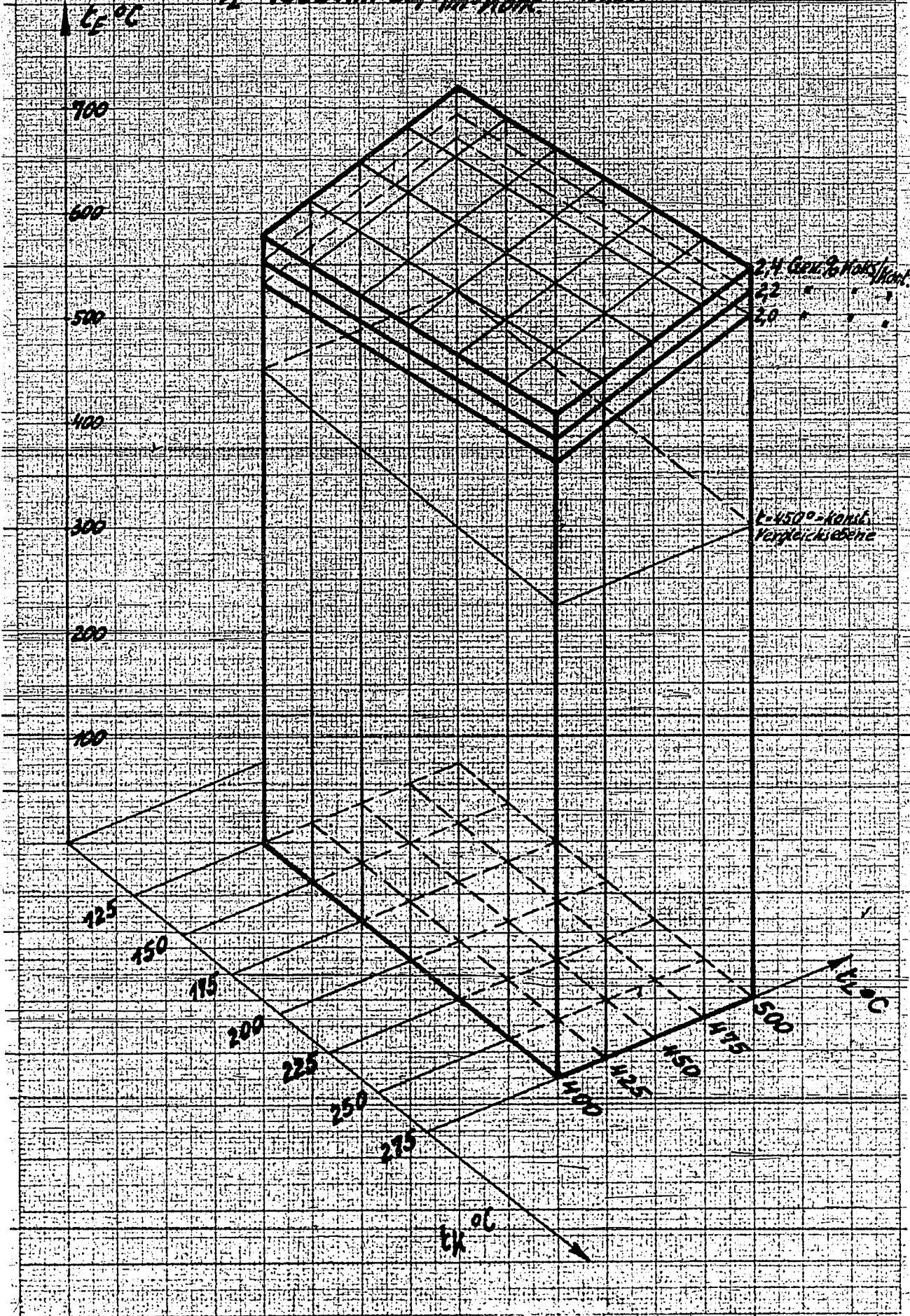
$V_3 = 2000 \text{ m}^3/\text{h}$   
Stahl

$t = 450^\circ\text{C}$  - kohl.  
Vergleichslinie

$t_k = 500^\circ\text{C}$

019329 123

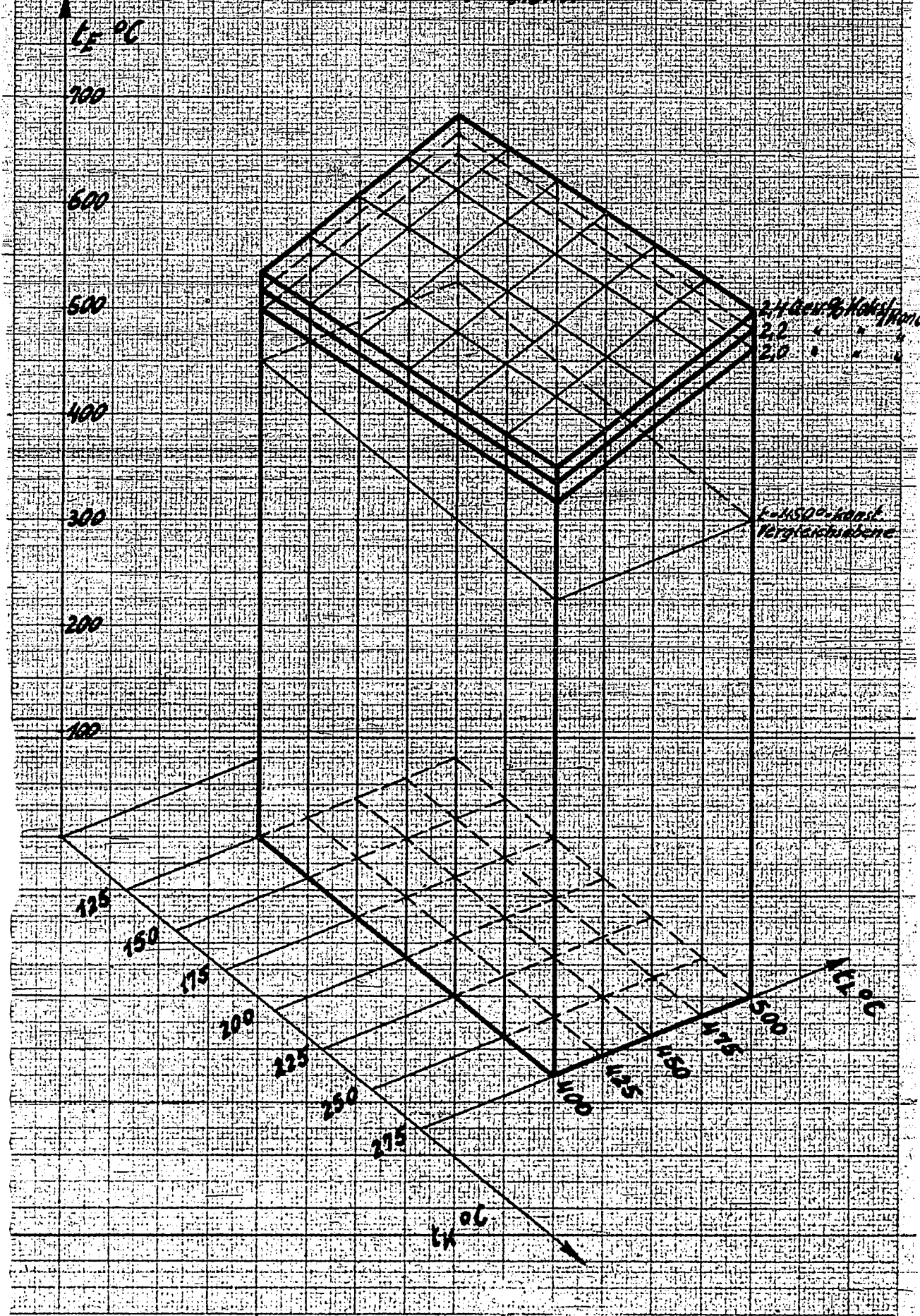
## Regenerationsendtemperaturen

 $V_L = 1000 \text{ Nm}^3 \text{ Luft}/\text{m}^3 \text{ Korn} = \text{konst.}$ 

Diagr. 15.

## Regenerationsendtemperaturen 23.6.17

$$V_1 = 1500 \text{ Nm}^3 \text{ Luft pro Stunde} = 40 \text{ m}^3$$



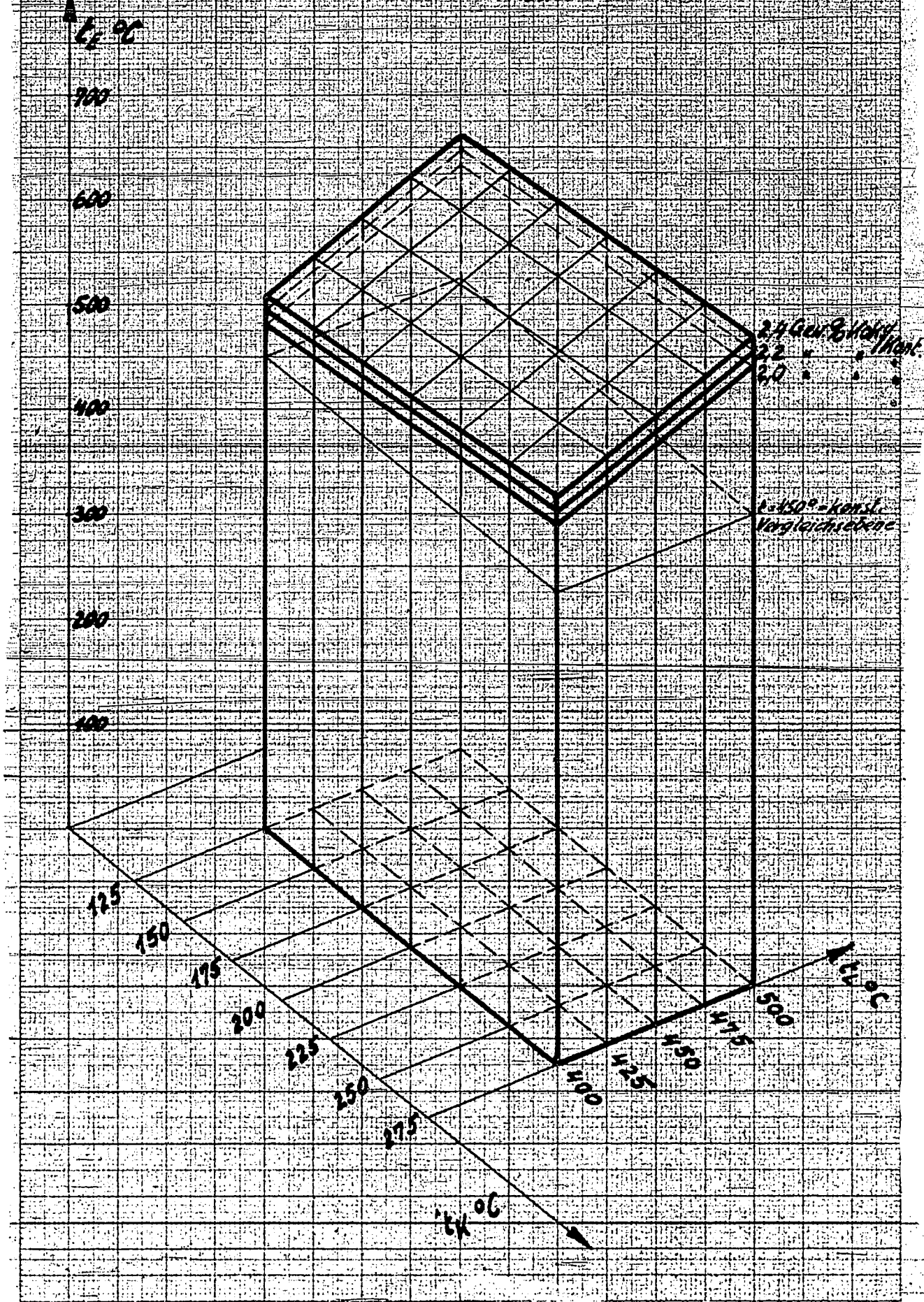
01329 125

DISQD 16

## Regenerationsendtemperatur

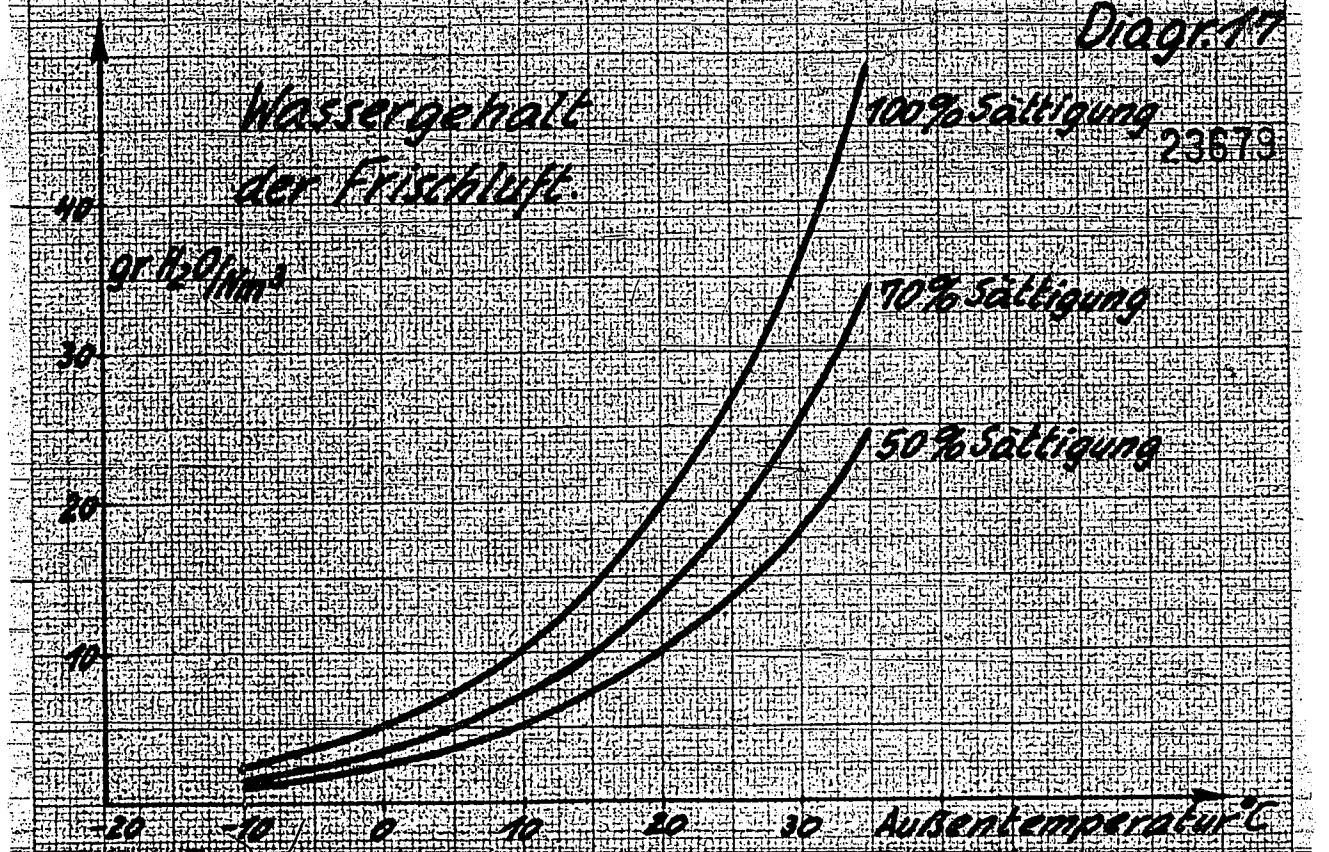
25670

$$V_1 = 2000 \text{ Nm}^{-3} \text{ Luft im Raum} = \text{ konst}$$

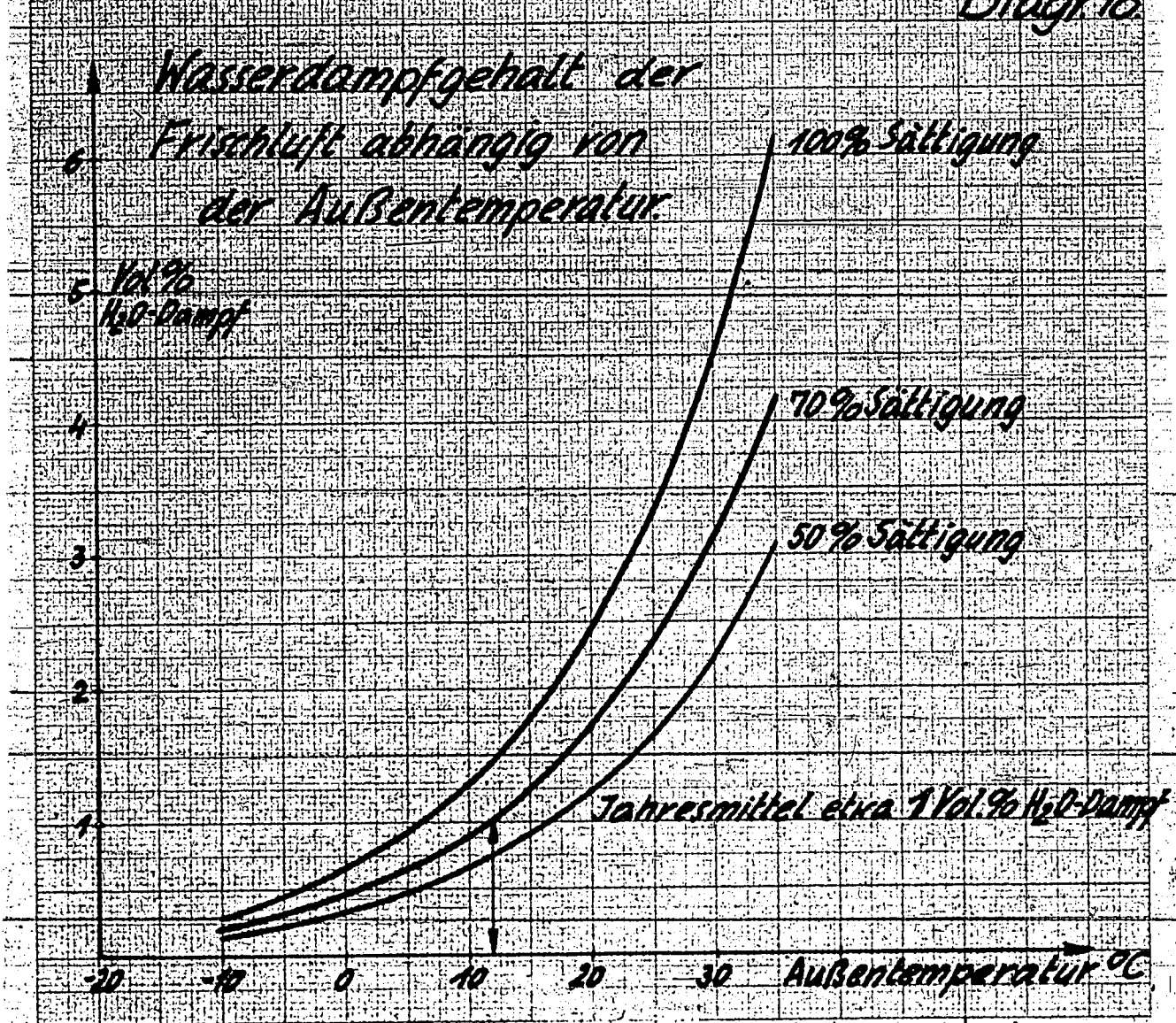


01329 126

Diagramm



Diagramm



0/1329/27

Diagramm

23680

Wasserdampfgehalt  
der Regenwasseraufbereitung  
von Rohwasser.

Vol. 93  
H2O-Dampf

$$t_A = 202^\circ \text{ Konst}$$

$$c_f = 4500 \text{ Konst}$$

$$G = 5750 \text{ Konst}$$

34

3

42

2

15

7

95

Wasserdampf als H<sub>2</sub>O-Gehalt der Regenwasser

Wasserdampf der Ansaugluft (etwa Jahresmittel)

12°C Außentemperatur

100% Sättigung mit der Luft

0

1

2

3

4

5

Gew. pro 1000 l Konst

01329/28

23681 Dior 20

Wasserstand am Beginn der Regenerationsstufe

22.000.924.000 m³ Kanti

3.5

101.210

100.000 m³

$t = 6000$

3.5

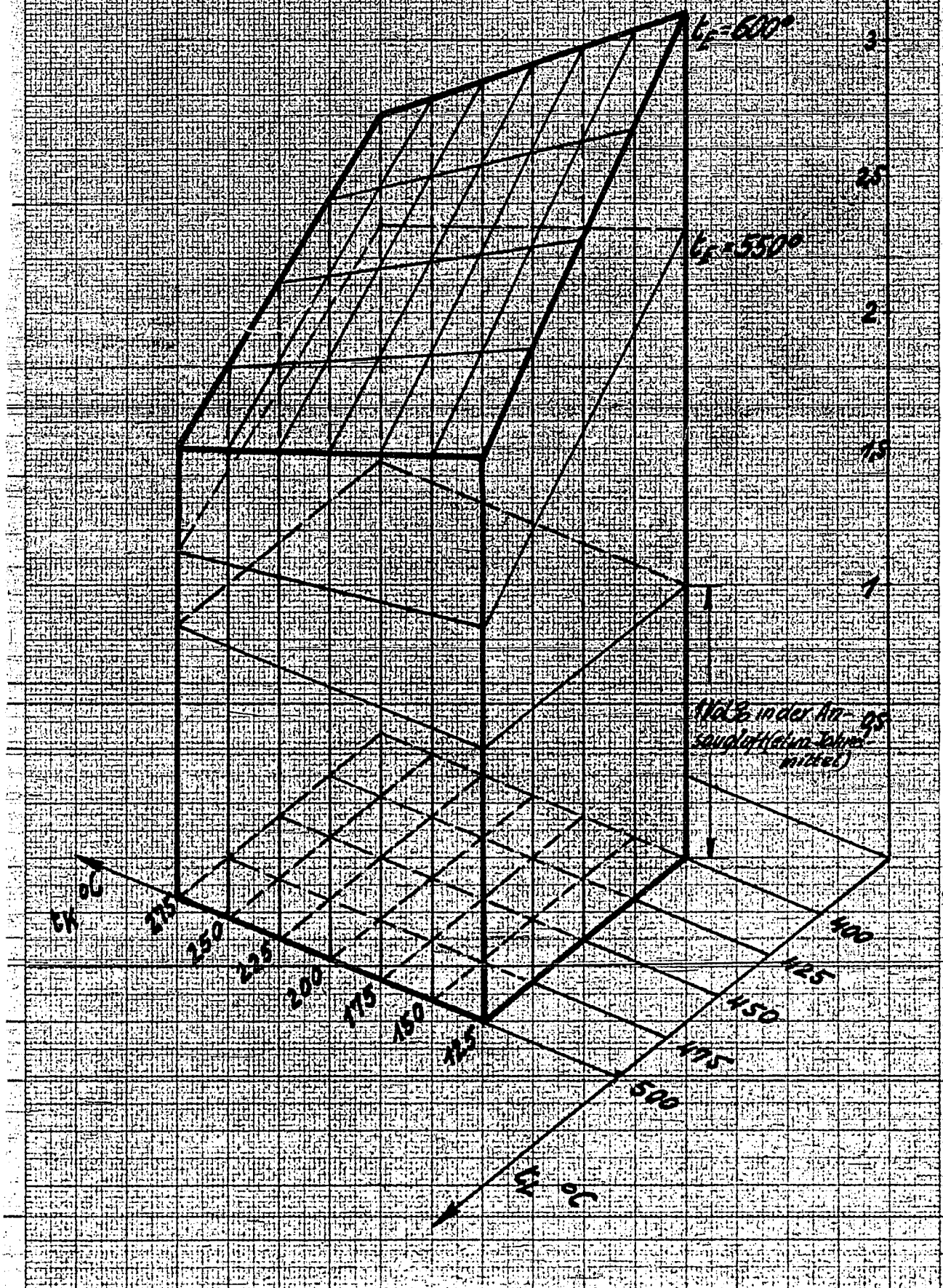
$t = 5500$

2

1.5

1

No 3 unter 100-100  
ausgetrocknet  
mit 0.5



019329129

23682

Verteiler:

Herrn Dr. v. Eltzfisch

Dr. Dr. Sauer

Dr. Dr. v. Staden

Dr. Dr. Strombeck

Dr. Drs Herold

Obering. Coltrum

Obering. Keinhe

Dr. Kaufmann

U. J. Dr. Rückmann

Dr. Wirth

Dr. Albol

D. I. Mutter, Uhde-Büro

Dr. Büro Versuchslager Gorlitz Nr. 210

Dr. Büro Doerzenbach Nr. 22